

الاتحاد الدولي للاتصالات

ITU-R

قطاع الاتصالات الراديوية في الاتحاد الدولي للاتصالات

التوصية **ITU-R P.681-7**
(2009/10)

معطيات الانتشار المطلوبة لتصميم أنظمة
الاتصالات البرية المتنقلة أرض-فضاء

السلسلة **P**
انتشار الموجات الراديوية



تمهيد

يضطلع قطاع الاتصالات الراديوية بدور يتمثل في تأمين الترشيد والإنصاف والفعالية والاقتصاد في استعمال طيف الترددات الراديوية في جميع خدمات الاتصالات الراديوية، بما فيها الخدمات الساتلية، وإجراء دراسات دون تحديد مدى الترددات، تكون أساساً لإعداد التوصيات واعتمادها. ويؤدي قطاع الاتصالات الراديوية وظائفه التنظيمية والسياساتية من خلال المؤتمرات العالمية والإقليمية للاتصالات الراديوية وجمعيات الاتصالات الراديوية بمساعدة لجان الدراسات.

سياسة قطاع الاتصالات الراديوية بشأن حقوق الملكية الفكرية (IPR)

يرد وصف للسياسة التي يتبعها قطاع الاتصالات الراديوية فيما يتعلق بحقوق الملكية الفكرية في سياسة البراءات المشتركة بين قطاع تقييس الاتصالات وقطاع الاتصالات الراديوية والمنظمة الدولية للتوحيد القياسي واللجنة الكهروتقنية الدولية (ITU-T/ITU-R/ISO/IEC) والمشار إليها في الملحق 1 بالقرار ITU-R 1. وترد الاستثمارات التي ينبغي لحاملي البراءات استعمالها لتقديم بيان عن البراءات أو للتصريح عن منح رخص في الموقع الإلكتروني <http://www.itu.int/ITU-R/go/patents/en> حيث يمكن أيضاً الاطلاع على المبادئ التوجيهية الخاصة بتطبيق سياسة البراءات المشتركة وعلى قاعدة بيانات قطاع الاتصالات الراديوية التي تتضمن معلومات عن البراءات.

سلاسل توصيات قطاع الاتصالات الراديوية

(يمكن الاطلاع عليها أيضاً في الموقع الإلكتروني <http://www.itu.int/publ/R-REC/en>)

العنوان	السلسلة
البث الساتلي	BO
التسجيل من أجل الإنتاج والأرشفة والعرض؛ الأفلام التلفزيونية	BR
الخدمة الإذاعية (الصوتية)	BS
الخدمة الإذاعية (التلفزيونية)	BT
الخدمة الثابتة	F
الخدمة المتنقلة وخدمة التحديد الراديوي للموقع وخدمة الهواة والخدمات الساتلية ذات الصلة	M
انتشار الموجات الراديوية	P
علم الفلك الراديوي	RA
الخدمة الثابتة الساتلية	S
أنظمة الاستشعار عن بعد	RS
التطبيقات الفضائية والأرصاد الجوية	SA
تقاسم الترددات والتنسيق بين أنظمة الخدمة الثابتة الساتلية والخدمة الثابتة	SF
إدارة الطيف	SM
التجميع الساتلي للأخبار	SNG
إرسالات الترددات المعيارية وإشارات التوقيت	TF
المفردات والمواضيع ذات الصلة	V

ملاحظة: تمت الموافقة على النسخة الإنكليزية لهذه التوصية الصادرة عن قطاع الاتصالات الراديوية بموجب الإجراء الموضح في القرار ITU-R 1.

النشر الإلكتروني
جنيف، 2010

التوصية ITU-R P.681-7*

معطيات الانتشار المطلوبة لتصميم أنظمة الاتصالات البرية المتنقلة أرض-فضاء

(المسألة ITU-R 207/3)

(1990-1994-1995-1997-1999-2001-2003-2009)

مجال التطبيق

تقوم هذه التوصية بالتنبؤ بمعلومات الانتشار المختلفة المطلوبة لتصميم أنظمة الاتصالات البرية المتنقلة أرض-فضاء (LMSS).

إن جمعية الاتصالات الراديوية للاتحاد الدولي للاتصالات،

إذ تضع في اعتبارها

أ) أنه، لتصميم ملائم لأنظمة الاتصالات البرية المتنقلة أرض-فضاء، من الضروري توفر معطيات انتشار وطرائق تنبؤ مناسبة؛

ب) أن طرائق التوصية ITU-R P.618 يوصى بها لتخطيط أنظمة الاتصالات أرض-فضاء؛

ج) أن هناك حاجة إلى زيادة تطوير طرائق التنبؤ لتطبيقات خاصة بالأنظمة البرية المتنقلة الساتلية لتأمين دقة مناسبة في كل أقاليم العالم ولكل الظروف التشغيلية؛

د) أن هناك، مع ذلك، طرائق تعطي دقة كافية في كثير من التطبيقات،

توصي

1 باعتماد الطرائق الحالية المعروضة في الملحق 1 لتخطيط أنظمة الاتصالات البرية المتنقلة أرض-فضاء، إضافة إلى تلك الموصى بها في التوصية ITU-R P.618.

الملحق 1

1 المقدمة

تختلف آثار الانتشار في الخدمة البرية المتنقلة الساتلية (LMSS) عن آثار الخدمة الثابتة الساتلية (FSS) أساساً بسبب الأهمية الكبرى للآثار الأرضية. ففي الخدمة FSS من الممكن، بوجه عام، تلافي آثار الحجب والسد والمسيرات المتعددة باستعمال هوائيات ذات اتجاهية قوية تُنصب عند مواقع غير معاقبة. بيد أن الخدمة LMSS على العموم توفر نسب مئوية لتيسرية الوصلة أصغر من الخدمة FSS. غالباً ما يكون مدى التيسرية الأساسي الذي يهتم مصممي الأنظمة يتراوح بين 80% و99%.

* يجب أن تُرفع هذه التوصية إلى علم لجنة الدراسات 8 للاتصالات الراديوية.

ويتناول هذا الملحق المعطيات والنماذج الضرورية بالتحديد للتنبؤ بانحطاطات الانتشار في وصلات الخدمة LMSS، التي تتضمن الآثار التروبوسفيرية والآثار الأيونوسفيرية والمسيرات المتعددة والسد والحجب. وهو يقوم على قياسات تتراوح من 870 MHz في النطاق UHF حتى 20 GHz.

2 الآثار التروبوسفيرية

1.2 التوهين

تنشأ خسارة في الإشارات التروبوسفير من جراء الغازات الجوية والمطر والضباب والسحب. وما عدا عند زوايا الارتفاع المنخفضة، فإن التوهين التروبوسفيري يكون مهملاً عند الترددات تحت 1 GHz تقريباً، وعادة يظل قليلاً عند ترددات تصل حتى حوالي 10 GHz. أما فوق 10 GHz، يمكن أن يكون التوهين كبيراً بحيث يستمر لنسب مئوية كبيرة من الوقت على عدة مسيرات. وتيسر طرائق تنبؤ لتقييم الامتصاص الغازي (التوصية ITU-R P.676) والتوهين المطري (التوصية ITU-R P.618). عادة، يكون التوهين بالضباب والسحب مهملاً للترددات التي تصل حتى 10 GHz.

2.2 التلاؤم

تنشأ التغيرات غير المنتظمة في سوية الإشارة المستقبلية وفي زاوية الوصول عن الاضطراب التروبوسفيري وتعدد المسيرات الجوية. ويزداد كم هذه الآثار كلما زاد التردد وقلت زاوية ارتفاع المسير، إلا أن التغيرات في زاوية الوصول التي يسببها الاضطراب لا تعتمد على التردد. ويؤثر عرض حزمة الهوائي كذلك في مقدار هذه التلاؤمات. ويلاحظ أن هذه الآثار تبلغ أقصاها في فصل الصيف. ترد طريقة للتنبؤ في التوصية ITU-R P.618.

3 الآثار الأيونوسفيرية

تُعالج الآثار الأيونوسفيرية على المسيرات أرض-فضاء في التوصية ITU-R P.531. وترد قيم الآثار الأيونوسفيرية لترددات في مدى من 0,1 إلى 10 GHz في الجدولين 1 و2 من التوصية ITU-R P.680.

4 الحجب

1.4 نموذج الحجب الناجم عن الأشجار المنتشرة على جانبي الطريق

استُعملت قياسات للتوزيعات التراكمية للخبو عند 870 MHz و 1,6 GHz و 20 GHz لاستنباط نموذج الحجب التجريبي الموسع الناجم عن الأشجار المنتشرة على جانبي الطريق. وتُمثل كثافة الأشجار على جانبي الطريق بواسطة النسبة المئوية للحجب البصري الناجم عن الأشجار المنتشرة على جانبي الطريق عند زاوية ارتفاع مسير مقدارها 45° في اتجاه مصدر الإشارة. ويكون هذا النموذج صالحاً عندما تكون هذه النسبة المئوية في مدى 55-75%.

1.1.4 حساب الخبو الناتج عن الحجب بواسطة الأشجار المنتشرة على جانبي الطريق

يوفر الإجراء التالي تقديرات للحجب الناجم عن الأشجار المنتشرة على جانبي الطريق لترددات تتراوح بين 800 MHz و 20 GHz، وزوايا لارتفاع المسير بين 7° وحتى 60°، ونسب مئوية للمسافة المقطوعة من 1% إلى 80%. ويقابل النموذج التجريبي حالة متوسطة للانتشار تتحرك فيها المركبات مسارات على كلا جانبي الطريق (تغطي المسارات القريبة والبعيدة عن الأشجار على جانبي الطريق). وتطبق توزيعات الخبو المتنبأ بها على الطرق السريعة والطرق الريفية حيث يكون مسير الانتشار في غالب الأحيان متعامداً، في معظم الأجزاء، مع صفوف الأشجار المنتشرة على جانبي الطريق والأعمدة الكهربائية، ويُفترض أن السبب الرئيسي للخبو في إشارات الخدمة LMSS هو الحجب الناجم عن أوراق الأشجار (انظر التوصية ITU-R P.833).

والمعلومات المطلوبة هي:

f : التردد (GHz)

θ : زاوية ارتفاع المسير إلى الساتل (بالدرجات)

p : النسبة المئوية للمسافة المقطوعة التي يتم خلالها تجاوز عتبة الخبو.

الخطوة 1: حساب توزيع الخبو عند 1,5 GHz، الصالح لنسب مئوية للمسافة المقطوعة مثل ($20\% \geq p \geq 1\%$) ولزوايا ارتفاع المسير المطلوبة ($60^\circ \geq \theta \geq 20^\circ$):

$$(1) \quad A_L(p, \theta) = -M(\theta) \ln(p) + N(\theta)$$

حيث:

$$(2) \quad M(\theta) = 3,44 + 0,0975 \theta - 0,002 \theta^2$$

$$(3) \quad N(\theta) = -0,443 \theta + 34,76$$

الخطوة 2: تحويل توزيع الخبو عند 1,5 GHz، الصالح من أجل ($20\% \geq p \geq 1\%$)، إلى التردد المطلوب، f (GHz)، حيث ($0,8 \text{ GHz} \leq f \leq 20 \text{ GHz}$):

$$(4) \quad A_{20}(p, \theta, f) = A_L(p, \theta) \exp \left\{ 1,5 \left[\frac{1}{\sqrt{f_{1,5}}} - \frac{1}{\sqrt{f}} \right] \right\}$$

الخطوة 3: حساب توزيع الخبو للنسب المئوية للمسافة المقطوعة مثل ($80\% \geq p > 20\%$) لمدى الترددات ($0,85 \text{ GHz} \leq f \leq 20 \text{ GHz}$):

$$(5) \quad A(p, \theta, f) = A_{20}(20\%, \theta, f) \frac{1}{\ln 4} \ln \left(\frac{80}{p} \right) \quad \text{for } 80\% \geq p > 20\%$$

$$= A_{20}(p, \theta, f) \quad \text{for } 20\% \geq p > 1\%$$

الخطوة 4: بالنسبة لزوايا ارتفاع المسير في المدى ($20^\circ > \theta \geq 7^\circ$)، يُفترض أن لتوزيع الخبو نفس القيمة التي تكون له عندما تكون ($\theta = 20^\circ$).

ويبين الشكل 1 قيم الخبو المتجاوزة عند 1,5 GHz مقابل زوايا ارتفاع بين 10° و 60° لأسرة من النسب المئوية المتساوية بين 1% و 50%.

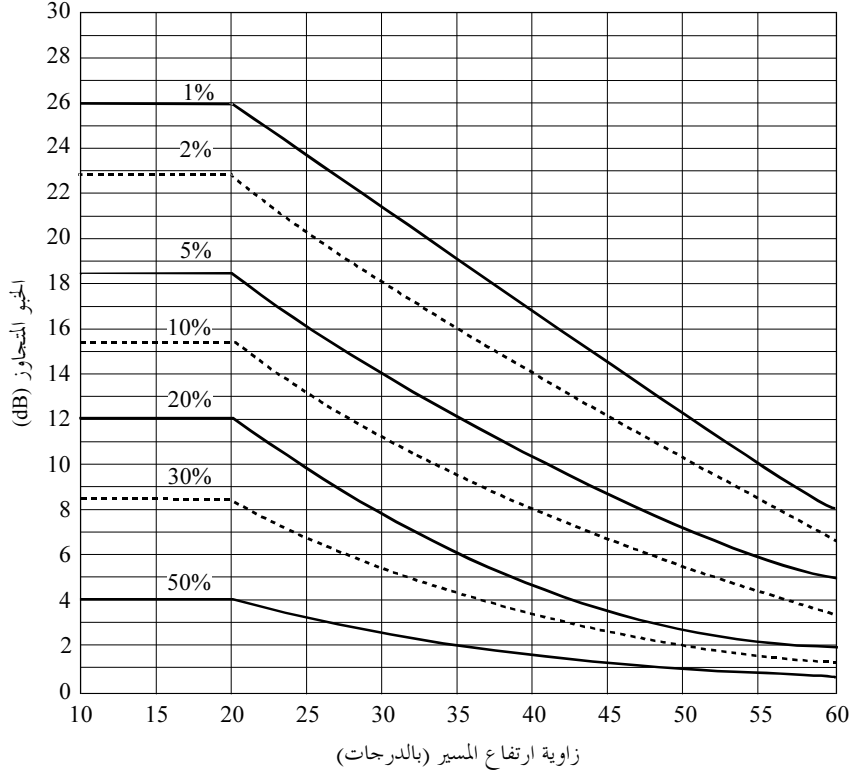
1.1.1.4 التمديد إلى زوايا ارتفاع أكبر من 60°

يمكن تمديد نموذج الحجب الناجم عن الأشجار المنتشرة على جانبي الطريق عند التردد 1,6 GHz و 2,6 GHz إلى زوايا ارتفاع تزيد عن 60° بالإجراء التالي:

- تطبيق المعادلات من (1) إلى (5) عند زاوية ارتفاع 60° عند التردد أعلى؛
- إجراء استكمال داخلي خطي بين القيمة المحسوبة لزاوية 60° وقيم الخبو لزاوية ارتفاع 80° (انظر الجدول 1)؛
- إجراء استكمال داخلي خطي بين قيم الجدول 1 وقيمة صفر عند 90° .

الشكل 1

الخبو عند 1,5 GHz الناتج عن الحجب الناجم عن الأشجار المنتشرة على جانبي الطريق مقابل زاوية ارتفاع المسير



0681-01

الجدول 1

قيم الخبو المتجاوزة (dB) عند ارتفاع 80°

قيم الحجب بالأشجار		p (%)
GHz 2,6	GHz 1,6	
9,0	4,1	1
5,2	2,0	5
3,8	1,5	10
3,2	1,4	15
2,8	1,3	20
2,5	1,2	30

2.1.1.4 تطبيق نموذج الحجب الناجم عن الأشجار المنتشرة على جانبي الطريق على الأنظمة المتنقلة الساتلية غير المستقرة بالنسبة إلى الأرض (non-GSO)

تم وضع طريقة التنبؤ السابقة من أجل الجوانب المتعلقة بمهندسة الخدمة LMSS بحيث تبقى فيها زاوية الارتفاع ثابتة. وبالنسبة للأنظمة (non-GSO)، حيث تكون زاوية الارتفاع متغيرة، يمكن حساب تيسر الوصلة بالطريقة التالية:

أ) حساب النسبة المتقوية من الزمن لكل زاوية ارتفاع (أو مدى زوايا الارتفاع) التي يرى فيها المطراف المركبة الفضائية؛

- (ب) لهامش انتشار معين (المحور الرأسي في الشكل 1)، إيجاد النسبة المئوية لعدم التيسر لكل زاوية ارتفاع؛
- (ج) لكل زاوية ارتفاع، ضرب نتيجة الخطوة أ) في نتيجة الخطوة ب) وقسمة الناتج على 100، مما يعطي النسبة المئوية لعدم تيسر النظام عند هذا الارتفاع؛
- (د) جمع كل قيم عدم التيسر المتحصل عليها في ج) للحصول على عدم التيسر الإجمالي للنظام.
- إذا كان الهوائي المستعمل عند المطراف المتنقل ليس له مخطط إشعاع متناح، فإن كسب الهوائي عند كل زاوية ارتفاع يجب أن يُطرح من هامش الخبو في الخطوة ب) أعلاه.
- في حالة كوكبات السواتل متعددة الرؤية التي تستخدم ضرب متنوع من المسيرات الساتلية (مثلاً التبديل إلى المسير الأقل انخطاطاً)، يمكن القيام بحساب تقريبي بافتراض أن المركبة الفضائية ذات أعلى زاوية للارتفاع هي المستعملة.

2.1.4 نموذج توزيع مدة الخبو

يتوقف التصميم المثالي للمستقبلات في الخدمة LMSS على معرفة الإحصائيات المرتبطة بفترة الخبو، التي يمكن تمثيلها بوحدات المسافة المقطوعة (m) أو (s). وقد أدت قياسات فترات الخبو إلى التوصل للنموذج التجريبي التالي الصالح لفترات خبو المسافة ($dd \geq 0,02 \text{ m}$).

$$(6) \quad P(FD > dd | A > A_q) = \frac{1}{2} \left(1 - \operatorname{erf} \left[\frac{\ln(dd) - \ln(\alpha)}{\sqrt{2} \sigma} \right] \right)$$

حيث $P(FD > dd | A > A_q)$ تمثل احتمال أن فترة خبو المسافة، FD ، تتجاوز المسافة، dd (m)، بشرط أن يتجاوز التوهين A ، التوهين A_q ، وتمثل التسمية "erf" دالة الخطأ، و σ هي الانحراف المعياري للحد $\ln(dd)$ ، و $\ln(\alpha)$ هي القيمة المتوسطة للحد $\ln(dd)$. وتم تقدير الطرف الأيسر من المعادلة (6) بحساب النسبة المئوية لعدد "حالات حدوث الفترات" التي تتجاوز dd بالنسبة للعدد الإجمالي للأحداث التي تكون خلالها ($A > A_q$) في البيانات المتحصل عليها من قياسات أُجريت في الولايات المتحدة الأمريكية وأستراليا. تتمثل أحسن قيم للانكفاء مستخرجة من هذه القياسات في ($\alpha = 0,22$) و ($\sigma = 1,215$).

ويتضمن الشكل 2 رسماً بيانياً لاحتمال P (معبراً عنه بالنسبة المئوية، p) مقابل dd لعتبة مقدارها 5 dB.

يقوم النموذج الذي تعطيه المعادلة (6) على قياسات عند زاوية ارتفاع 51° وينطبق على حجب معتدل إلى شديد (تتراوح النسبة المئوية للحجب البصري بين 55% و 90%). وأظهرت الاختبارات عند 30° و 60° اعتماداً معقولاً على زاوية الارتفاع؛ كلما قلت زاوية الارتفاع، كلما زادت مدة الخبو لنسبة مئوية ثابتة. فعلى سبيل المثال، تبلغ مدة الخبو عند 30° ضعفها تقريباً مقارنة بمدة الخبو عند 60° عند سوية النسبة المئوية نفسها.

3.1.4 نموذج توزيع الفترات الخالية من الخبو

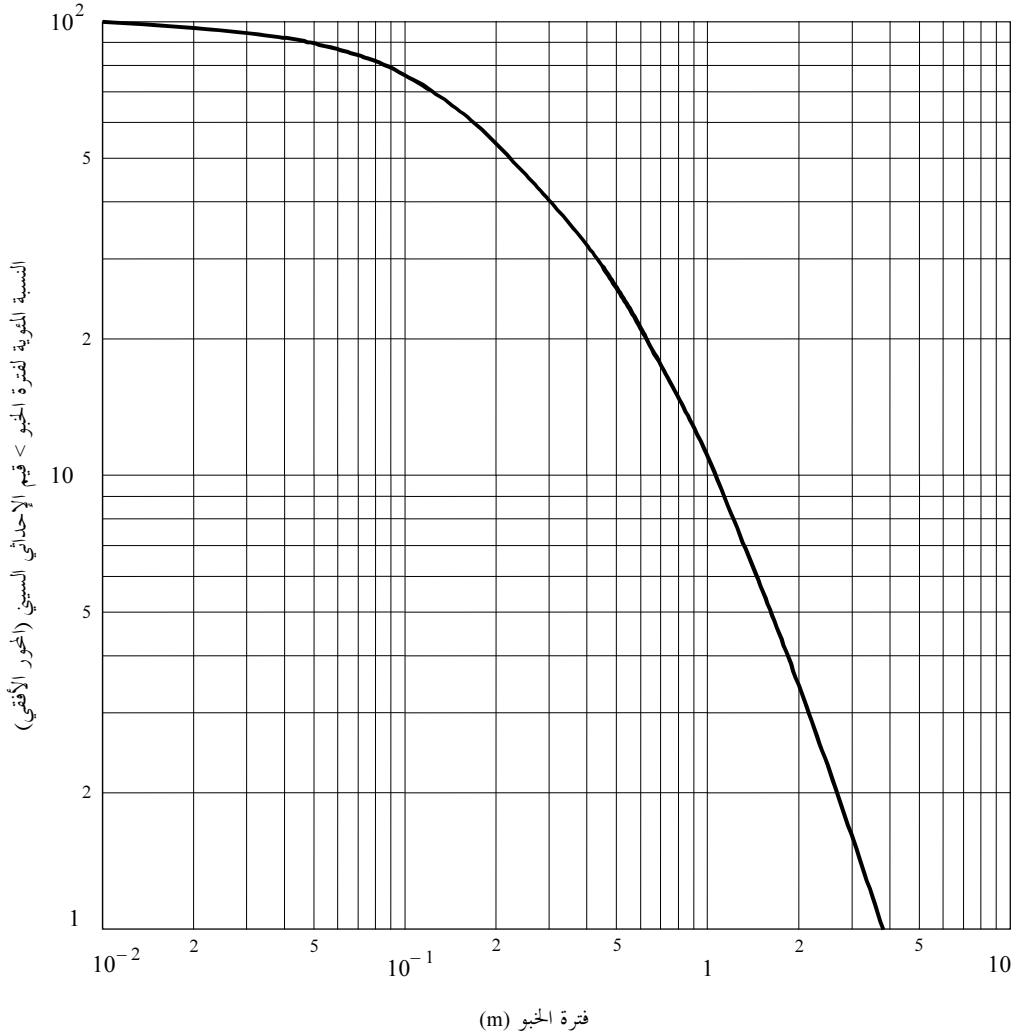
إن حالة حدوث مدة خالية من الخبو تقابل مدة مسافة dd ، تُعرف على أنها المسافة التي تكون فيها سويات الخبو أقل من عتبة خبو محددة. ويُعطى نموذج الفترات الخالية من الخبو بواسطة المعادلة التالية:

$$(7) \quad p(NFD > dd | A < A_q) = \beta (dd)^{-\gamma}$$

حيث $p(NFD > dd | A < A_q)$ هو النسبة المئوية لاحتمال الذي تتجاوز فيها مسافة مستمرة خالية من الخبو شريطة أن يكون NFD ، المسافة، dd ، الخبو أقل من العتبة A_q . ويحتوي الجدول 2 على قيم β و γ لطرق يكون فيها الحجب معتدلاً وكبيراً أي أن النسبة المئوية من الحجب البصري تتراوح بين 55% و 75% وبين 75% و 90%، على التوالي. ويُستعمل خبو مقداره 5 dB للعتبة A_q .

الشكل 2

أفضل توفيق لمنحني التوزيع التراكمي للخبو لحجب الأشجار المنتشرة على جانبي الطريق مع عتبة مقدارها 5 dB



0681-02

الجدول 2

قيم انكفاء الفترات الخالية من الخبو لعتبة خبو تبلغ 5 dB عند زاوية لارتفاع المسير تساوي 51°

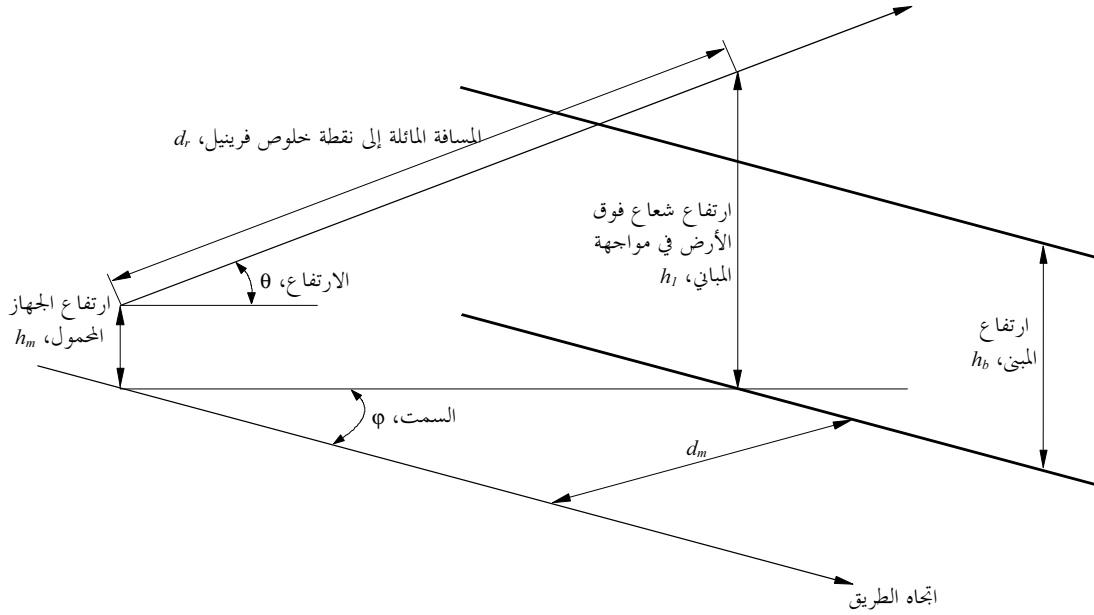
γ	β	سوية الحجب
0,58	20,54	معتدلة
0,8371	11,71	قصوى

2.4 نموذج الحجب الناجم عن المباني الموجودة على جانبي الطريق

يمكن نمذجة الحجب الناجم عن المباني الموجودة على جانبي الطريق في منطقة حضرية بفرض أن توزيع ارتفاعات المباني يكون في شكل توزيع رايلي. ويبين الشكل 3 مفاهيم الهندسة الخاصة بهذا الحجب.

الشكل 3

جوانب الهندسة الخاصة بنموذج الحجب الناجم عن المباني الموجودة على جانبي الطريق



0681-03

تُحسب النسبة المتوقعة لاحتمال السد الناجم عن المباني من العلاقة التالية:

$$(8) \quad p = 100 \exp \left[- (h_1 - h_2)^2 / 2h_b^2 \right] \quad \text{for } h_1 > h_2$$

حيث:

h_1 : ارتفاع الشعاع فوق الأرض عند واجهة المبنى ويتحصل عليها بالمعادلة:

$$(8a) \quad h_1 = h_m + (d_m \tan \theta / \sin \varphi)$$

h_2 : مسافة خلوص فرينيل المطلوبة فوق المباني، ويتحصل عليها بالمعادلة:

$$(8b) \quad h_2 = C_f (\lambda d_r)^{0.5}$$

h_b : الارتفاع الأكثر شيوعاً بين المباني (نموذج)

h_m : ارتفاع الجهاز المحمول فوق الأرض

θ : زاوية ارتفاع الشعاع الممتد إلى الساتل فوق الاتجاه الأفقي

φ : زاوية سمت الشعاع بالنسبة لاتجاه الطريق

d_m : مسافة الجهاز المحمول من واجهة المباني

d_r : المسافة المائلة من الجهاز المحمول إلى موضع على الشعاع يكون رأسياً على واجهة المبنى، ويتحصل عليه بالمعادلة:

$$(8c) \quad d_r = d_m / (\sin \varphi \cdot \cos \theta)$$

C_f : الخلوص المطلوب بدلالة نطاق فرينيل الأول

λ : الطول الموجي

وحيث، $h_1, h_2, h_b, h_m, d_m, d_r$ و λ تكون بوحدات متسقة فيما بينها و $h_2 < h_1$.

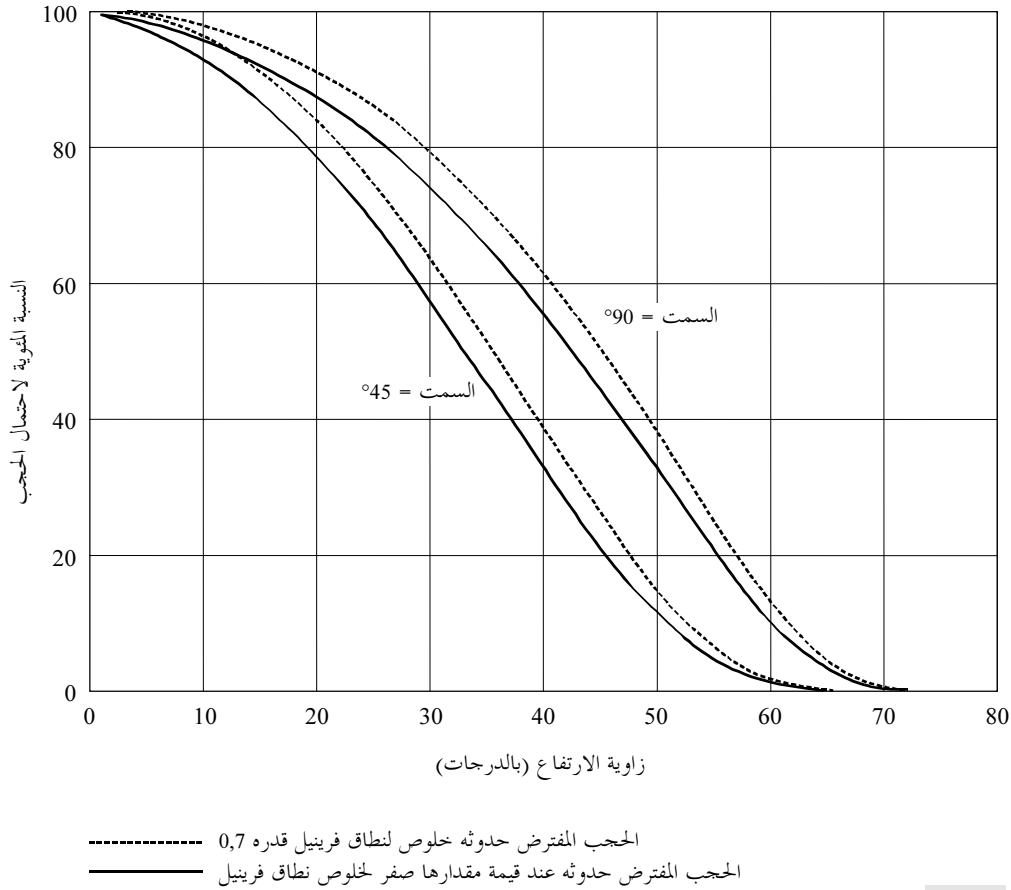
ويلاحظ أن المعادلات (8a) و (8b) و (8c) صالحة لقيم $0 < \theta < 90^\circ$ و $0 < \phi < 180^\circ$. ولا ينبغي استعمال القيم الحدية الفعلية المقيدة.

ويبين الشكل 4 أمثلة على الحجب الناجمة عن المباني الموجودة على جانبي الطريق تم حسابه باستعمال المعادلات أعلاه بالنسبة للقيم التالية:

$$\begin{aligned} m_{15} &= h_b \\ m_{1,5} &= h_m \\ m_{17,5} &= d_m \\ \text{التردد} &= 1,6 \text{ GHz} \end{aligned}$$

الشكل 4

أمثلة على الحجب الناجم عن المباني الموجودة على جانبي الطريق
(انظر النص من أجل الاطلاع على قيم العلامات)



0681-04

وفي الشكل 4، ينطبق المنحنى المتقطع عند افتراض حدوث السد إذا كان للشعاع خلوص أقل من 0,7 من النطاق الأول لفرينيل رأسياً على واجهة المبنى. والمنحنى المتصل ينطبق عندما لا يتعرض حدوث السد إلا عندما لا يكون هناك خط للبصر.

وعلى الرغم من أن النموذج يشير إلى عدم وجود سد عند زوايا الارتفاع الأعلى للمسير، ينبغي للمستعملين التنبيه إلى إمكانية حدوث حالات حجب وسد من وقت لآخر من جراء الممرات العلوية والأعمدة المعلقة وتفريعات الطرق، وما إلى ذلك.

3.4 اعتبارات خاصة للأجهزة المطرافية المحمولة باليد (السد بواسطة المستعمل)

عند استعمال أجهزة مطرافية للاتصالات تُحمل باليد، فإن رأس أو جسم المشغل في المجال القريب للهوائي يتسبب في تغيير مخطط الهوائي. وبالنسبة لحالة الأنظمة الساتلية ذات المدارات الأرضية غير المنخفضة (مدار مستقر بالنسبة للأرض، مدار أرضي عالي، مدار بالدائرة المتوسطة)، يُتوقع أن يكون مستعمل الأجهزة المطرافية المحمولة باليد متعاوناً، أي أن يضع نفسه بحيث يتفادى السد من كل من الرأس (أو الجسم) والبيئة. وبالنسبة لأنظمة LEO، لا يمكن القيام بهذا الافتراض. ويمكن تقييم تأثير الرأس (أو الجسم) بإدراج مخطط الإشعاع المعدل للهوائي (الذي يجب أن يُقاس) في حساب تيسر الوصلة كما هو مقدم في الفقرة 2.1.1.4، وبافتراض أن زوايا السمات التي يمكن رؤية الساتل منها موزعة بانتظام، فإنه يمكن تطبيق مخطط إشعاع ارتفاع تم توسيطه بالنسبة للسمت. ويمكن كذلك إجراء توسيط للحركات الصغيرة للرأس أو اليد التي تثير التغيرات الصغيرة في زاوية الارتفاع الظاهرية.

كان هذا الأثر موضع تجربة ميدانية في اليابان. ويبين الشكل 5a هندسة رأس بشري وهوائي في التجربة. فزاوية ارتفاع الساتل هي 32° وتردد الإشارة الساتلية هي 1,5 GHz. وكسب الهوائي يساوي 1 dBi والطول يساوي 10 cm. ويبين الشكل 5b تغير سوية الإشارة النسبية إزاء زاوية السمات ϕ الواردة في الشكل 5a. ويمكن من الشكل 5b ملاحظة أن التخفيض الأقصى في سوية الإشارة الناتجة عن السد الناجم عن المستعمل يساوي حوالي 6 dB عندما تكون التجهيزات في منطقة حجب الرأس البشري.

ويُقصد من النتائج المقدمة في الشكل 5b أن تكون توضيحية فقط إذ إن المعطيات تقابل زاوية ارتفاع وحيدة ومخطط إشعاع هوائي وحيد، ولا يولى أي اعتبار لآثار الانعكاس المرآوي المحتمل، مما قد يلعب دوراً مهماً في بيئة الأجهزة المحمولة باليد حيث لا تتوفر سوى اتجاهية قليلة.

ويمكن الاطلاع على بيانات الانتشار المتعلقة بالخسارة في دخل الإشارة عند الاستقبال داخل المباني والمركبات والتي تم بشكل خاص المطارييف المحمولة باليد في التوصية ITU-R P.679.

4.4 نمذجة تأثيرات سد المباني باستعمال دوال تقنيع الشوارع (MKF)

يمكن أيضاً تقدير كم تأثيرات سد المباني باستعمال دوال تقنيع الشوارع التي تبين زوايا السمات والارتفاع التي يمكن لأي وصلة أن تكتمل أو لا تكتمل فيها. والدوال من هذا النمط يتحصل عليها عادة بواسطة دراسات التصوير المساحي الضوئي أو بتتبع الشعاع. ويمكن تطبيق مفهوم دوال التقنيع على سيناريوهات أبسط للحصول على عدد محدود من هذه الدوال وبالتالي يتسنى إنتاج تقديرات سريعة وتقريبية للتيسر المشترك في تشكيلات مختلفة متعددة السواتل.

ويمكن وصف منطقة حضرية معينة كتقريب أولي عن طريق زاوية تقنيع متوسطة (MKA) (بالدرجات).

وتعرف الزاوية MKA بأنها زاوية ارتفاع الساتل للتماس العابر مع قمم المباني عندما تكون الوصلة عمودية على الشارع أو رياضياً كالتالي:

$$(9) \quad MKA = \arctan\left(\frac{h}{w/2}\right) \quad \text{بالدرجات}$$

حيث:

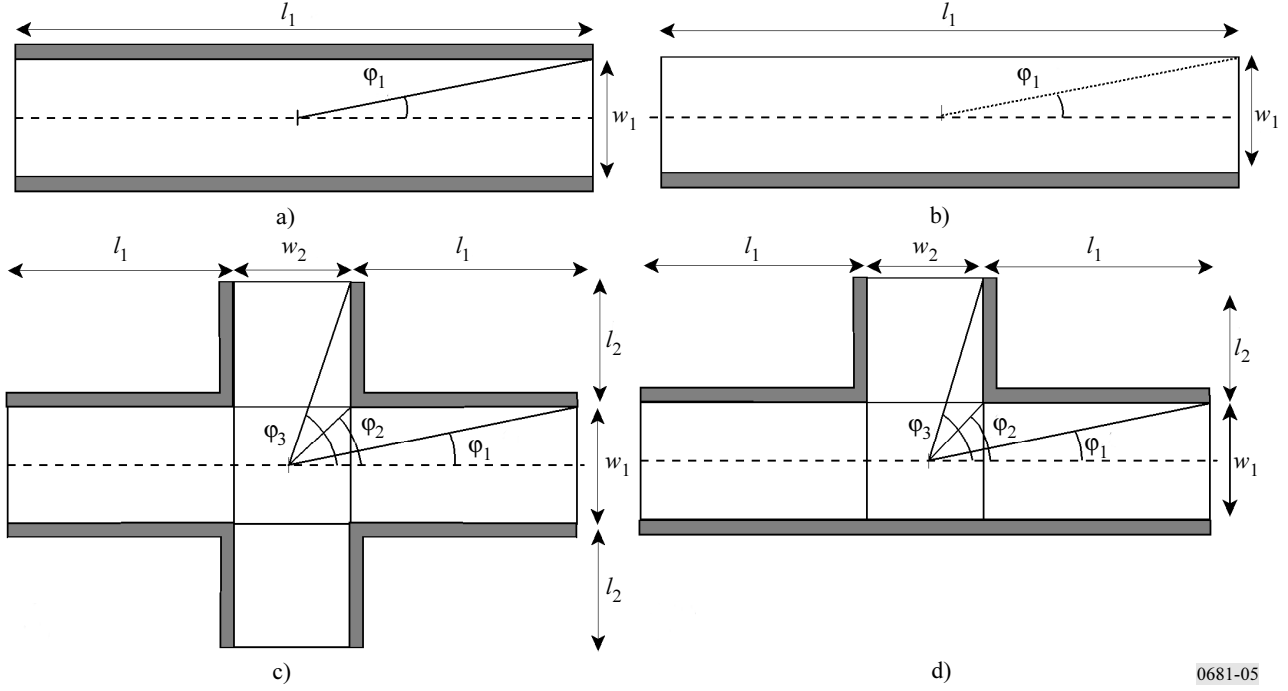
h : متوسط ارتفاع المبنى

w : متوسط عرض الشارع.

كما أنه بالإمكان افتراض سيناريو حضري مع زاوية MKA معينة بتوليفة من عدد قليل من التشكيلات النمطية (السيناريوهات الأساسية/التكوينية)، ألا وهي أودية الشوارع (scy) وتقاطعات الشوارع (scr) والتقاطعات التي على شكل حرف T (T-j) والحوائط الفردية (sw)، ولكل منها احتمال حدوث (انظر الشكل 5). وبالمثل، يمكن تعريف متجه خليط المسيرات، \vec{M} ، بأنه، مع ذكر أنه لمساحة مكتظة بالمباني، احتمالات مواجهة كل من السيناريوهات التكوينية \vec{M} $(w_{sw}, w_{T-j}, w_{scr}, w_{scy})$ ، بشرط أن $\sum w_i = 1$. ويمكن الحصول على البيانات المدخلة لهذا النموذج، أي الزاوية MKA من خلال رصد البيئة أو من خرائط المدينة.

الشكل 5

السيناريوهات الأساسية/التكوينية التي تصف منطقة حضرية معينة



0681-05

وإذا تم الحصول على احتمالات التيسر للسيناريوهات التكوينية الأربعة تلك، يمكن تقدير التيسر الإجمالي بصورة تقريبية باعتباره المجموع المرجح لقيم التيسر في كل سيناريو:

$$(10) \quad a_T = w_{scy} a_{scy} + w_{scr} a_{scr} + w_{T-j} a_{T-j} + w_{sw} a_{sw}$$

وتم استنباط الدوال MKF لهذه السيناريوهات الأساسية الأربعة بواسطة الهندسة البسيطة بافتراض وجود المستعمل في وسط كل واحد منها (انظر الشكل 5). وبتابع نموذج انتشار بسيط (on-off) أو خط البصر - غير خط البصر (كما هو وارد في الفقرة 2.4 بالنسبة لحالة خلوص قيمته صفر لنطاق فرينيل)، يعرض الشكل 6 الدوال MKF للسيناريوهات الحضرية التكوينية الأربعة، حيث تشير الإحداثيات الرأسية إلى زوايا الارتفاع والإحداثيات الأفقية لزوايا السمات أو، بمعنى آخر، اتجاهات الشوارع، ξ ، بالنسبة للوصلة. ويشير النصف الأعلى للمستوى إلى زوايا سمت موجبة والنصف الأسفل يقابل زوايا سمت سالبة. وتبين الدالة MKF المناطق في نصف الكرة السماوي (نصف القبة السماوية) حيث يمكن لأي وصلة أن تكتمل (مساحة غير مظلمة) أو لا تكتمل (مساحة مظلمة). وتحدد الأكفة التي تحدد المناطق "المخظورة" في الدوال MKF بواسطة تقاطع ونقاط. وبين الشكل 6 الأكفة الأكثر ارتباطاً ويتحصل عليها بالمعادلات التالية:

$$(11a) \quad S_A: \quad \theta = \tan^{-1} \left(h / \sqrt{\left(\frac{w}{2} \right)^2 \left(\frac{1}{\tan^2 \varphi} + 1 \right)} \right)$$

$$(11b) \quad P_A: \quad \left(\varphi_A = 90^\circ; \theta_A = \tan^{-1} \left(\frac{h}{w/2} \right) \right)$$

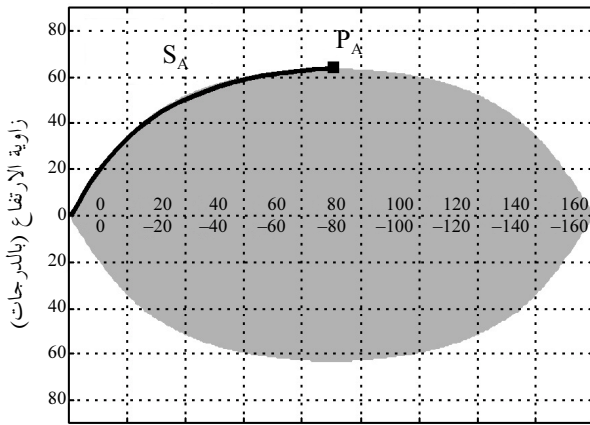
$$(11c) \quad S_{B_1}: \theta = \tan^{-1} \left(h / \sqrt{\left(\frac{w_1}{2} \right)^2 \left(\frac{1}{\tan^2 \varphi} + 1 \right)} \right)$$

$$(11d) \quad S_{B_2}: \theta = \tan^{-1} \left(h / \sqrt{\left(\frac{w_1}{2} \right)^2 \left(\frac{1}{\tan^2 (90^\circ - \varphi)} + 1 \right)} \right)$$

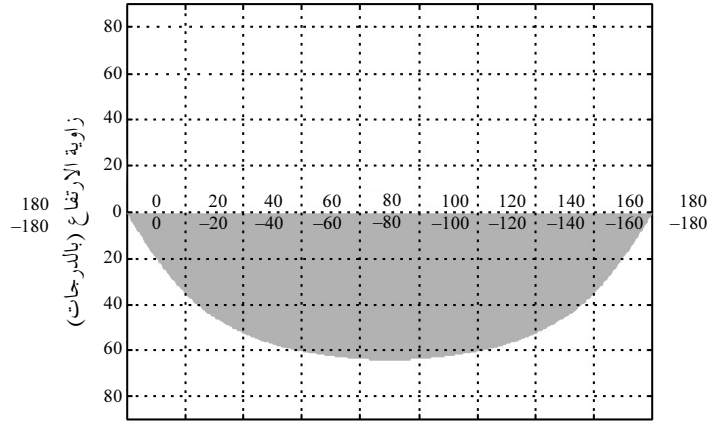
$$(11e) \quad P_B: \left(\varphi_B = \tan^{-1} \left(\frac{w_1}{w_2} \right); \theta_2 = \tan^{-1} \left(h / \sqrt{\left(\frac{w_1}{2} \right)^2 \left(\frac{1}{\tan^2 \varphi_B} + 1 \right)} \right) \right)$$

الشكل 6

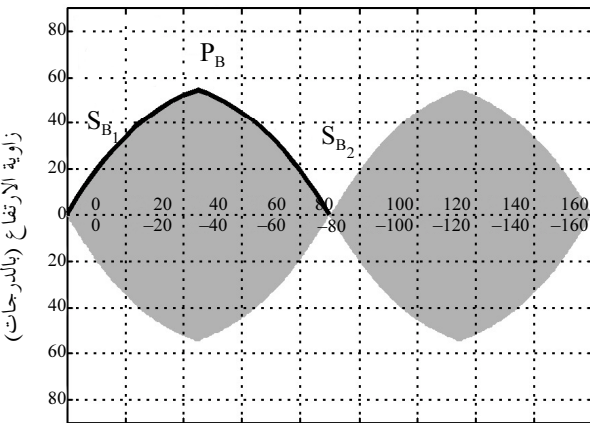
الدوال MKF للسياريوهات: أ) أودية الشوارع وب) حائط فردي
وج) تقاطع شارع ود) تقاطع على شكل حرف T



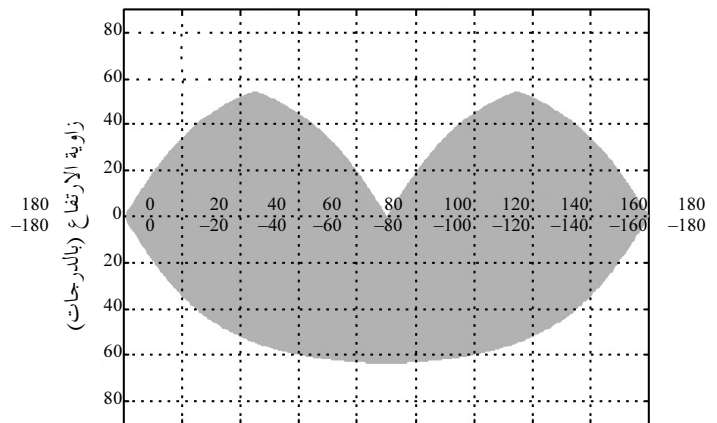
(أ) زاوية السميت (بالدرجات)



(ب) زاوية السميت (بالدرجات)



(ج) زاوية السميت (بالدرجات)



(د) زاوية السميت (بالدرجات)

$$h = 20$$

$$w_1 = 20$$

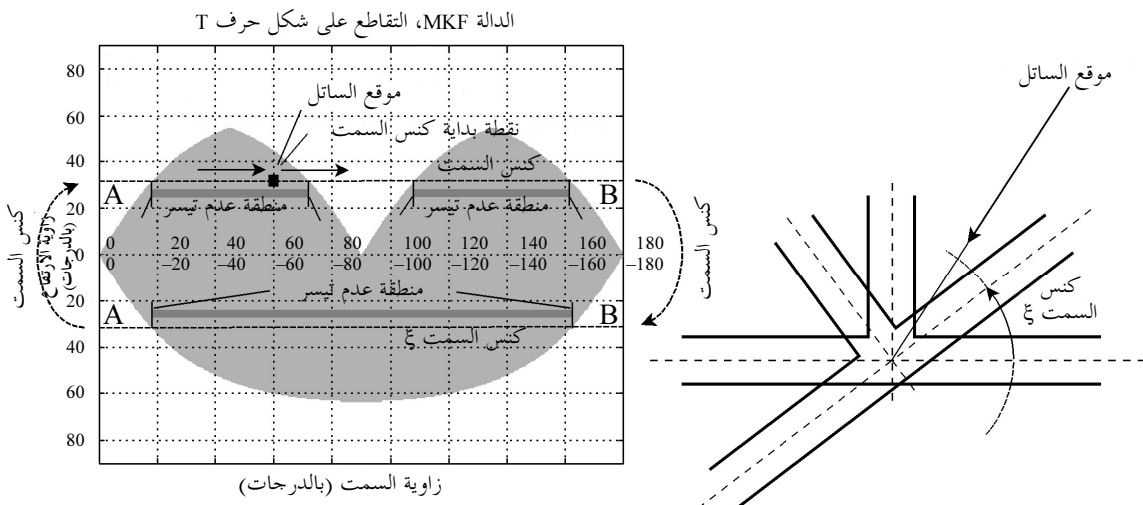
$$w_2 = 20$$

$$MKA \approx 63^\circ$$

ويمكن حساب التيسر بالنسبة لسيناريو أساسي معين وساتل معين في مدار مستقر بالنسبة إلى الأرض (GSO). بمراعاة كل الاتجاهات المحتملة للشوارع، ξ ، بالنسبة للوصلة الساتلية للمستعمل. وفي الشكل 7 يظهر موقع الساتل GSO بالنسبة لتقاطع على شكل حرف T. وبالنسبة للحالة المبينة في الشكل، يمكن وصف جميع الاتجاهات المحتملة من خلال كنس كل النقاط على خط A-B يقابل زاوية ارتفاع ثابتة مع جميع الاتجاهات المحتملة للشارع. والتيسر هو الجزء من الخط المستقيم A-B في الجزء غير المظلل من الدالة MKF. وبالمثل يمكن رسم مسار أي مدار غير مستقر بالنسبة إلى الأرض على أي دالة MKF. ويمكن حساب التيسر الإجمالي في هذه الحالة بمراعاة كل الاتجاهات المحتملة للشارع بالنسبة لجميع الاتجاهات المحتملة للوصلة الساتلية للمستعمل.

الشكل 7

حساب التيسر لتقاطع على شكل حرف T وساتل في مدار مستقر بالنسبة إلى الأرض (GSO)



$$h = 20$$

$$w_1 = 20$$

$$w_2 = 20$$

$$MKA \approx 63^\circ$$

0681-07

5 نماذج المسيرات المتعددة في ظروف خط البصر الصافية

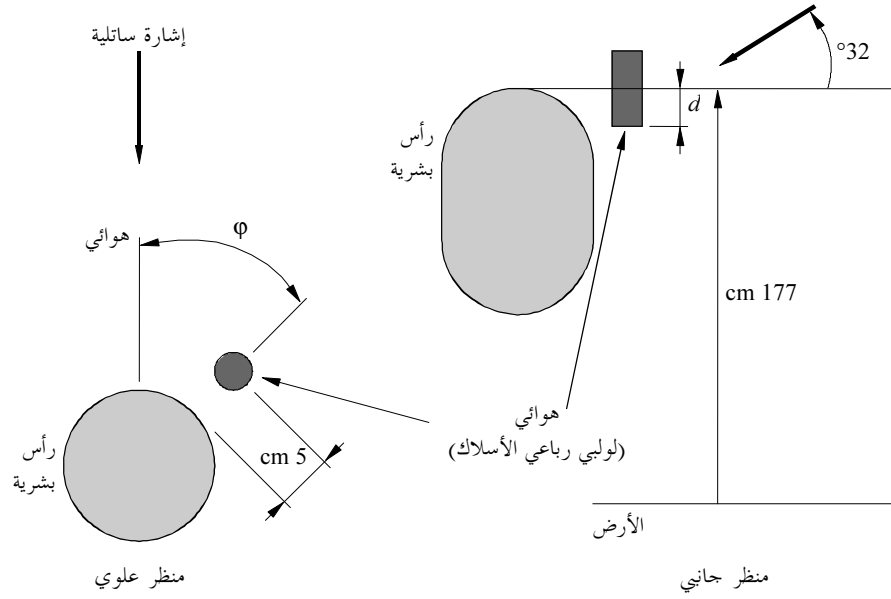
في كثير من الحالات يكون للمطراف المتنقل خط بصر صافٍ (حجب قابل للإهمال) إلى الساتل المتنقل. ويمكن مع ذلك أن يحدث انحطاط في الإشارة في هذه الظروف، نتيجة للمسيرات المتعددة التي تثيرها التضاريس الأرضية. يستقبل المطراف المتنقل الجمع المتجهي لإشارة في خط البصر وعدة إشارات عبر مسيرات متعددة. ويمكن أن تزيد إشارات المسيرات المتعددة هذه بطريقة بناءة أو هدامة لتؤدي إلى تعزيز الإشارة أو حيوها. وتتوقف خصائص الإشارة عبر مسيرات متعددة على مقاطع الانتثار العرضية للسطوح العاكسة للمسيرات المتعددة وعددها والمسافات بينها وبين هوائي الاستقبال واستقطاب المجال ومخطط كسب هوائي الاستقبال.

وتعتمد نماذج الانحطاط بسبب تعدد المسيرات المقدمة في الأقسام التالية على قياسات أُجريت باستعمال هوائي بالخصائص التالية:

- شامل الاتجاهات في السميت؛
- تغير الكسب بين ارتفاع 15° و 75° أقل من 3 dB؛
- تحت الأفق (زوايا ارتفاع سالبة)، خُفض كسب الهوائي بما لا يقل عن 10 dB.

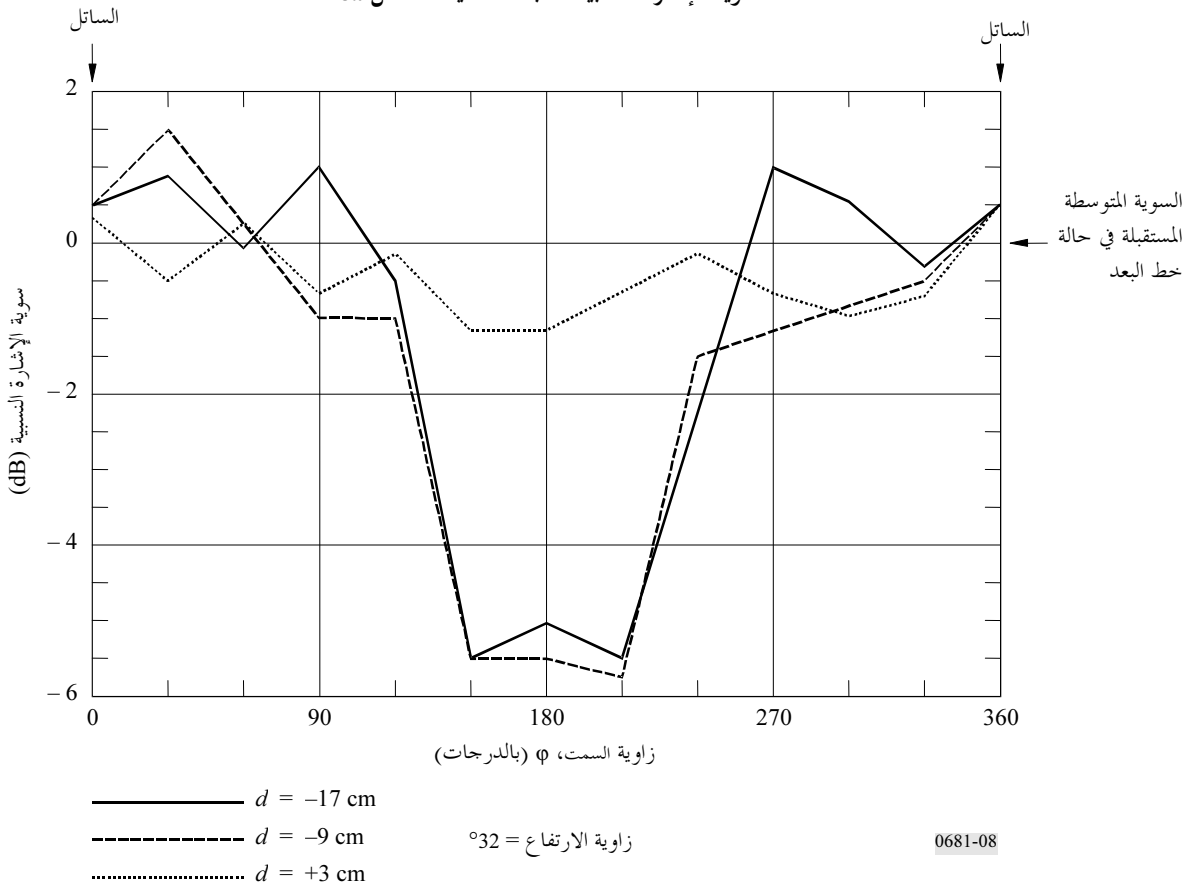
الشكل 8a

هندسة رأس بشرية وهوائي



الشكل 8b

سوية الإشارة النسبية المقابلة لتشكيلة الشكل 8a



1.5 المسيرات المتعددة في بيئة جبلية

يُتمذج توزيع شدة الخبو الناتج عن المسيرات المتعددة في أرض جبلية بواسطة المعادلة التالية:

(12)

$$p = a A^{-b}$$

من أجل:

$$1\% < p < 10\%$$

حيث:

p : النسبة المئوية للمسافة التي يتم عندها تجاوز الخبو

A : عتبة الخبو المتجاوزة (dB).

تُبين معلمتا ضبط المنحنى a و b في الجدول 3 من أجل 1,5 GHz و 870 MHz. ويُلاحظ أن النموذج السابق صالح عندما يكون أثر الحجب مهملاً.

الجدول 3

معلمتا الضبط المثالية للتوزيع التراكمي للخبو
عبر مسيرات متعددة في أرض جبلية

الارتفاع = 45°			الارتفاع = 30°			التردد (GHz)
المدى (dB)	b	a	المدى (dB)	b	a	
4-2	2,464	31,64	7-2	1,855	34,52	0,87
5-2	2,321	39,95	8-2	1,710	33,19	1,5

يتضمن الشكل 9 منحنيات لتوزيعات الخبو التراكمي لزاويتي ارتفاع مسير قدرهما 30° و 45° عند 1,5 GHz و 870 MHz.

2.5 مسيرات متعددة على طول الطرق المحفوفة بالأشجار

أظهرت تجارب أجريت على طول طرق محفوفة بالأشجار في الولايات المتحدة الأمريكية أن الخبو عبر مسيرات متعددة يكون غير حساس نسبياً لارتفاع المسير عبر مدى زوايا من 30° إلى 60°. أدت المعطيات المقيسة إلى النموذج التالي:

(13)

$$p = u \exp(-vA)$$

من أجل:

$$1\% < p < 50\%$$

حيث:

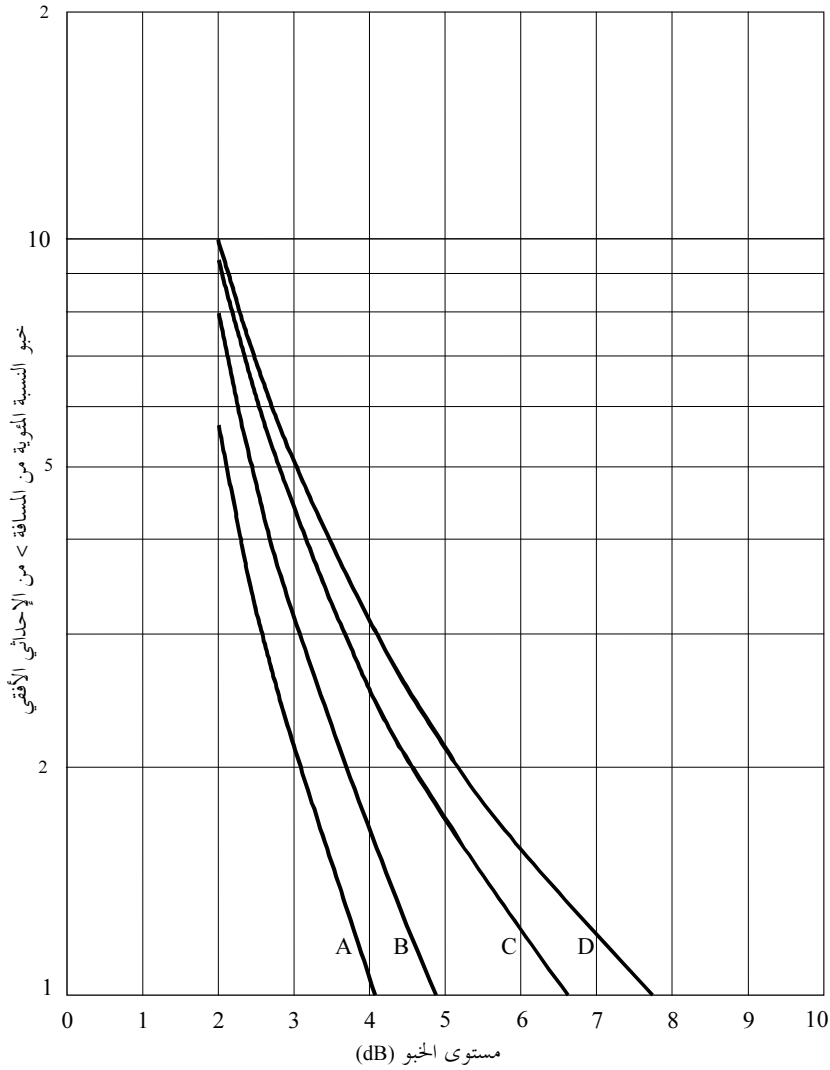
p : النسبة المئوية للمسافة التي يتم عندها تجاوز الخبو

A : عتبة الخبو المتجاوزة (dB).

نلاحظ أنه يُفترض في النموذج السابق حجب مهمل. وترد معلمتا ضبط المنحنى، u و v ، في الجدول 4.

الشكل 9

أفضل منحنيات للتوزيع التراكمي للخبو عبر مسيرات متعددة في أرض جبلية



المنحنيات : A : 870 MHz ، 45°
 B : 1,5 GHz ، 45°
 C : 870 MHz ، 30°
 D : 1,5 GHz ، 30°

0681-09

الجدول 4

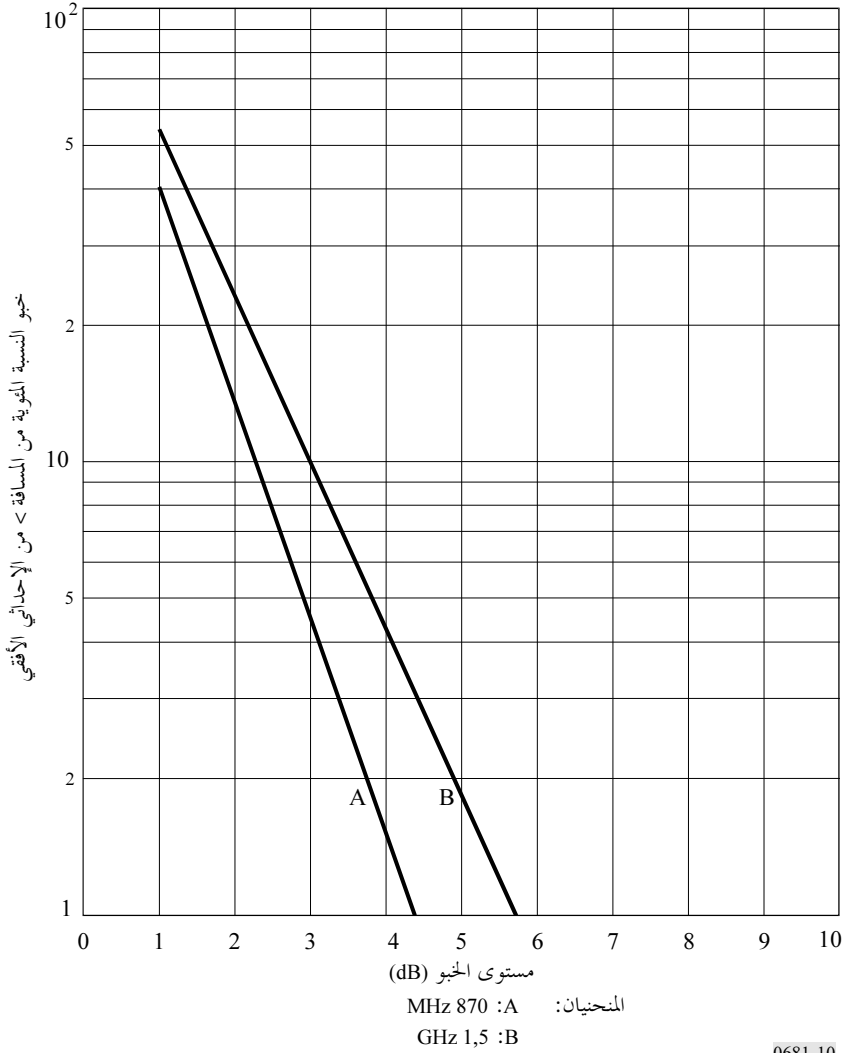
معلومات الضبط المثالية للتوزيعات التراكمية الأسية للخبو
 عبر مسيرات متعددة على طول طريق محفوفة بالأشجار

التردد (GHz)	u	v	مدى الخبو (dB)
0,870	125,6	1,116	4,5-1
1,5	127,7	0,8573	6-1

يتضمن الشكل 10 منحنيي التوزيعات التراكمية للخبو بالنسبة للترددين 1,5 GHz و 870 MHz. يمكن أن يحدث الخبو المعزز الناتج عن مسيرات متعددة عند زوايا الارتفاع الأقل (5° إلى 30°) حيث الانتشار الأمامي من أرض متدرجة ملساء نسبياً يمكن أن يُستقبل من مسافات أبعد.

الشكل 10

أفضل شكل لمنحني التوزيع التراكمي للخبو عبر مسيرات متعددة على طول طريق محفوفة بالأشجار



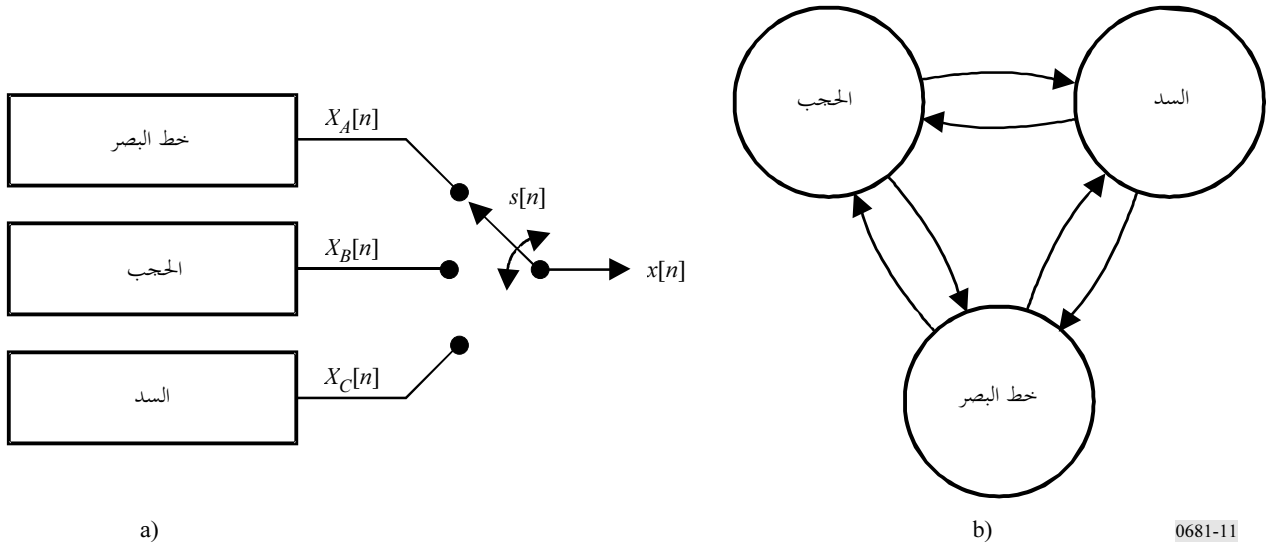
6 نموذج إحصائي لظروف الانتشار المختلطة

ترد في الفقرتين 1.4 و 5 نماذج لظروف محددة، ألا وهي، ظروف الحجب على جانبي الطريق وظروف خط البصر الخالي من العوائق في بيئة جبلية وفي بيئة الطرق المحفوفة بالأشجار. وفي البيئات الفعلية للانتشار في الخدمة LMSS، مثل المناطق الحضرية وشبه الحضرية (الضواحي)، يمكن حدوث خليط من ظريفي انتشار مختلفين. ودالة التوزيع التراكمي لمستويات فردية في هذه الظروف المختلطة، يمكن حسابها استناداً إلى النموذج التالي ذي الثلاث حالات. والذي يتألف من حالة خط البصر الخالي من العوائق وحالة الحجب الطفيف وحالة السد الكامل. وهذا النموذج عبارة عن نموذج إحصائي يسري بالنسبة إلى الخدمة LMSS ضيقة النطاق حيث تؤثر الاستجابة الترددية للقناة على جميع الترددات الواقعة ضمن حدود عرض نطاق الإشارة بنفس الطريقة (قنوات ترددية غير منتقاة).

يمكن وصف التغيرات طويلة الأجل في الإشارة بواسطة سلسلة من الحالات المختلفة. ويبين الشكل (11a) الفكرة الأساسية للسلسلة المخفية. حيث يحدد وضع المبدل أي من العمليات العشوائية $x_i[n]$ هي المرصودة عند الخرج، حيث تمثل كل عملية سيناريو انتشار معين. ويمكن نمذجة التغيرات قصيرة الأجل داخل كل حالة بنماذج قنوات ذات قيمة تماثلية. وتستخدم ثلاث حالات لتمثيل خط البصر والحجب والسد. وتمثل العملية العشوائية $s[n]$ وضع المبدل التي تحدد خصائص حالته بسلسلة شبيهة بسلسلة ماركوف مع مخطط الانتقال بين الحالات الواردة في الشكل (11b).

الشكل 11

توليد سلسلة مرصودة (a) ومخطط الانتقال بين الحالات لسلسلة شبيهة بسلسلة ماركوف (b)



0681-11

1.6 التنبؤ بإحصاءات الحجب لوصلة ساتلية وحيدة

يقدم الإجراء التالي تقديرات لإحصاءات الحجب الإجمالي لوصلة انتشار للخدمة LMSS لترددات تصل إلى 30 GHz مع زوايا ارتفاع تتراوح بين 10° و 90°. بيد أن قيم المعلمات المقترحة الواردة هنا تحد من مدى التردد ليكون بين 1,5 GHz و 2,5 GHz في منطقتين حضرية وشبه حضرية. وكسب هوائي الاستقبال هنا أقل من 10 dBi تقريباً.

وتعرف حالات الانتشار كالتالي:

الحالة A: ظروف خط البصر الخالي من العوائق

الحالة B: ظروف الحجب الخفيف (بواسطة أشجار و/أو عوائق صغيرة مثل أعمدة الكهرباء)

الحالة C: ظروف السد الكامل (بعوائق ضخمة مثل الجبال والمباني).

ويتعين وجود المعلمات التالية:

P_A و P_B و P_C : احتمال حدوث الحالات A و B و C

$M_{r,A}$ و $M_{r,B}$ و $M_{r,C}$: القدرة المتوسطة للمسيرات المتعددة في الحالات A و B و C

m و σ : القيمة المتوسطة والانحراف المعياري للحجب في الإشارة (dB) لمكون الموجة المباشرة في الحالة B

θ : زاوية الارتفاع (بالدرجات).

ويتحصل على القيم الموصى بها للمعلمات أعلاه بدلالة زاوية الارتفاع θ (بالدرجات) على النحو التالي:

$$(14a) \quad P_A = 1 - a (90 - \theta)^2 \quad \text{for} \quad 10^\circ \leq \theta \leq 90^\circ$$

حيث:

$$\begin{aligned} &\text{للمنطقة الحضرية} && a = 1,43 \times 10^{-4} \\ &\text{للمنطقة شبه الحضرية (الضواحي)} && = 6,0 \times 10^{-5} \end{aligned}$$

$$(14b) \quad P_B = b P_C$$

حيث:

$$\begin{aligned} &\text{للمنطقة الحضرية} && b = 1/4 \\ &\text{للمنطقة شبه الحضرية (الضواحي)} && = 4 \end{aligned}$$

وحيث:

$$(14c) \quad P_C = (1 - P_A) / (1 + b)$$

و

$$m = -10 \text{ dB} \quad \sigma = 3 \text{ dB}$$

$$M_{r,B} = 0,03162 (= -15 \text{ dB}) \quad M_{r,C} = 0,01 (= -20 \text{ dB})$$

وتعتمد القيمة المقترحة للمعلمة $M_{r,A}$ على نمط المنطقة الوارد أدناه. فبالنسبة لزاويا الارتفاع التي تتراوح بين 10° و 45° ، يمكن الحصول على القيمة من خلال استكمال داخلي خطي أو استكمال خارجي للقيم بوحدات dB عند $\theta = 30^\circ$ و $\theta = 45^\circ$. وبالنسبة للمنطقة الحضرية:

$$\begin{aligned} M_{r,A} &= 0.158 (= -8 \text{ dB}) && \text{for } \theta = 30^\circ \\ &= 0.100 (= -10 \text{ dB}) && \text{for } \theta \geq 45^\circ \end{aligned}$$

وبالنسبة للمنطقة شبه الحضرية:

$$\begin{aligned} M_{r,A} &= 0.0631 (= -12 \text{ dB}) && \text{for } \theta = 30^\circ \\ &= 0.0398 (= -14 \text{ dB}) && \text{for } \theta \geq 45^\circ \end{aligned}$$

ويجري الإجراء الخاص بالحساب خطوة بخطوة على النحو التالي:

الخطوة 1: حساب التوزيع التراكمي لمستوى الإشارة x في الحالة A (حيث $x = 1$ لمكون الموجة المباشرة):

$$(15) \quad f_A(x \leq x_0) = \int_0^{x_0} \frac{2x}{M_{r,A}} \exp\left(-\frac{1+x^2}{M_{r,A}}\right) I_0\left(\frac{2x}{M_{r,A}}\right) dx$$

حيث I_0 عبارة عن دالة بيسيل معدلة من النوع الأول والدرجة الصفرية.

الملاحظة 1 - هذا التوزيع عبارة عن توزيع ناكاغامي ريس تكون فيه $a = 1$ و $2\sigma^2 = M_{r,A}$ ويرد وضعه في التوصية ITU-R P.1057.

الخطوة 2: حساب التوزيع التراكمي لمستوى الإشارة x في الحالة B:

$$(16) \quad f_B(x \leq x_0) = \frac{6.930}{\sigma M_{r,B}} \int_0^{x_0} x \int_\varepsilon^\infty \frac{1}{z} \exp\left[-\frac{[20 \log(z) - m]^2}{2\sigma^2} - \frac{x^2 + z^2}{M_{r,B}}\right] I_0\left(\frac{2xz}{M_{r,B}}\right) dz dx$$

حيث ε قيمة صغيرة جداً لا تساوي صفراً (يقترح وضع $\varepsilon = 0,001$).

الملاحظة 1 - يعرف هذا التوزيع بتوزيع لو.

الخطوة 3: حساب التوزيع التراكمي لمستوى الإشارة x في الحالة C:

$$(17) \quad f_C(x \leq x_0) = 1 - \exp\left(-\frac{x_0^2}{M_{r,C}}\right)$$

الملاحظة 1 - هذا التوزيع عبارة عن توزيع رايلي تكون فيه $2q^2 = M_{r,C}$ ويرد وصفه في التوصية ITU-R P.1057.

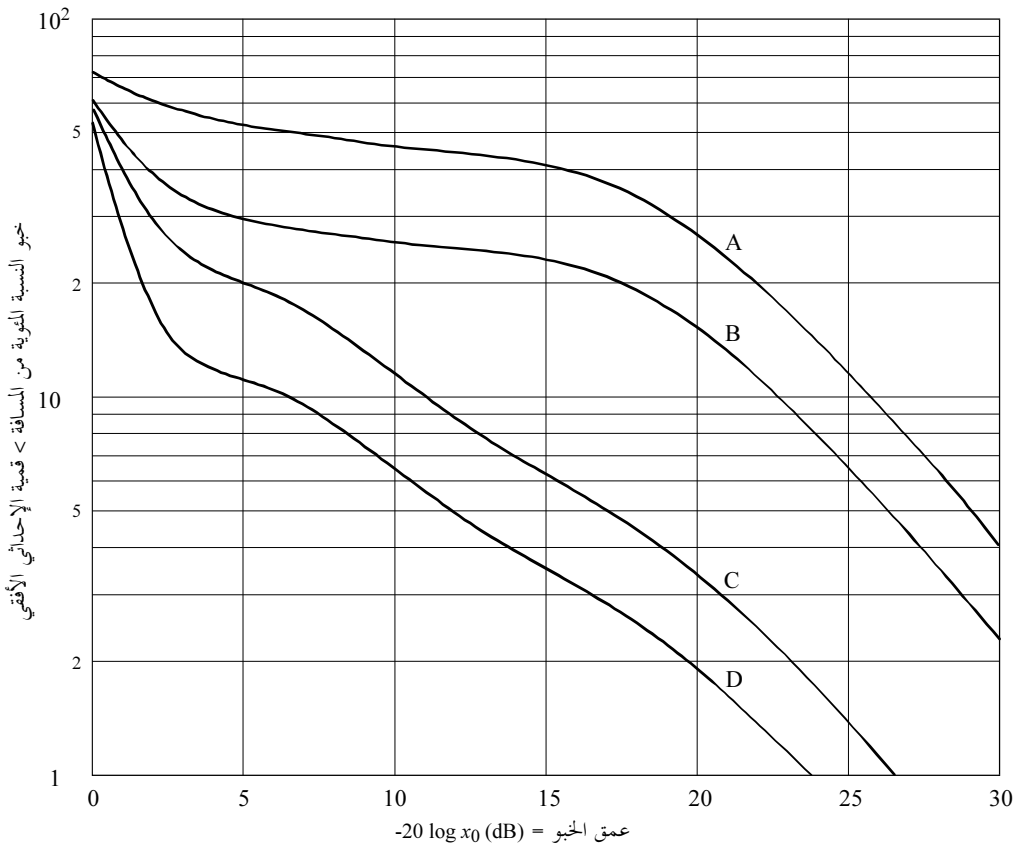
الخطوة 4: ويمكن الحصول على دالة التوزيع التراكمي (CDF)، عندما يكون مستوى الإشارة x أقل من مستوى العتبة x_0 مع احتمال P في ظروف الانتشار المختلط كالتالي:

$$(18) \quad P(x \leq x_0) = P_A f_A + P_B f_B + P_C f_C$$

ويبين الشكل 12 أمثلة محسوبة للدوال CDF لقيم المعلمات الواردة أعلاه مع احتمالات معبر عنها بنسب مئوية من الوقت.

الشكل 12

أمثلة محسوبة لعمق الخبو في منطقتين حضرية وشبه حضرية عند زاويتي ارتفاع 30° و 45°
(نطاق التردد 2,5-1,5 GHz؛ كسب الهوائي ≥ 10 dBi)



المنحنيات: A: حضرية، 30°
B: حضرية، 45°
C: شبه حضرية، 30°
D: شبه حضرية، 45°

2.6 التنبؤ بإحصاءات فترة استمرار الحالة لوصلة وحيدة

تحتاج محاكاة وتقييم أداء مستقبلات الخدمة LMSS الإلام بالفترة الزمنية أو المسافة المنقضية في كل حالة من الحالات الثلاث المصنفة كحالات مفتوحة ومع حجب ومع السد. ويمكن استعمال توزيعات فترة استمرار الحالة إلى جانب احتمالات تغير الحالة في نموذج حالة شبه ماركوف لمحاكاة قناة LMSS لساتل وحيد في مدار مستقر بالنسبة إلى الأرض.

واستخلص توزيع فترة استمرار الحالة D (m) لكل من الحالات الثلاث A و B و C من مجموعة من القياسات على جانبي الطريق عند 1,5 GHz تقريباً مع سواتل مستقرة بالنسبة إلى الأرض في المملكة المتحدة خلال شهور الشتاء. وأخذت القياسات في ضواحي لندن في بيئة مختلفة: بيئة شبه حضرية ذات خليط من المساحات المفتوحة والطرق المحفوفة بأشجار قليلة ومنازل من طابقين؛ وبيئة كثيفة الأشجار. وكانت زاوية الارتفاع للساتل 29° لمجموعة واحدة من القياسات في المنطقتين شبه الحضرية وكثيفة الأشجار (شبه حضرية (I) وكثيفة الأشجار) و 13° لمجموعة ثانية من هذه القياسات (شبه حضرية (II)). وكان الهوائي عبارة عن هوائي شامل الاتجاهات منصوب على شاحنة. تم تطبيق قيمتين للعتبة مقدارها 5 و 10 dB لمستوى القدرة المتوسطة المحلية لترتيب القياسات طبقاً للحالات الثلاث (انظر الجدول 5).

واستناداً إلى مقارنة مع فترات الخبو واللاحبو الواردة في الفقرة 1.4، تكون توزيعات فترة استمرار الحالة كالتالي:
توزيع القانون الأسي لفترة استمرار الحالة A هو:

$$(19) \quad P_A(D \leq d) = 1 - \beta d^{-\gamma}$$

حيث تعتمد المعلمتان β و γ على درجة الحجب البصري و $d > \beta^{1/\gamma}$.

وتوزيع فترتي استمرار الحالتين B و C عبارة عن نموذج لوغاريتمي عادي ينطبق على $d \geq 0,1$ (m) وهو كالتالي:

$$(20) \quad P_{B,C}(D \leq d) = (1 + \operatorname{erf}[(\ln(d) - \ln(\alpha)) / \sqrt{2\sigma}]) / 2$$

حيث σ الانحراف المعياري للحد $\ln(d)$ و $\ln(\alpha)$ هو القيمة المتوسطة للحد $\ln(d)$ ودالة الخطأ تكون على النحو الوارد في التوصية ITU-R P.1057.

ويعرض الجدول 5 القيم المشتقة للمعلمات لتوزيعات فترة استمرار الحالات الثلاث واحتمالات تغير الحالات المقابلة.

الجدول 5

معلمات لتوزيعات فترة استمرار الحالة واحتمالات تغير الحالة

احتمالات التغير						الحالة C		الحالة B		الحالة A		البيئة
$P_{C \rightarrow B}$	$P_{C \rightarrow A}$	$P_{B \rightarrow C}$	$P_{B \rightarrow A}$	$P_{A \rightarrow C}$	$P_{A \rightarrow B}$	σ	α	σ	α	γ	β	
1	0	0,35	0,65	0	1	0,98	2,62	1,11	1,73	0,61	0,88	شبه حضرية (I)
1	0	0,35	0,65	0	1	1,04	3,28	0,93	1,89	0,66	0,83	شبه حضرية (II)
1	0	0,58	0,42	0	1	1,02	1,55	1,05	2,05	0,84	0,60	كثيفة الأشجار

7 نموذج عريض النطاق فيزيائي إحصائي لظروف الانتشار المختلط

في الفقرة 6، ورد نموذج إحصائي ضيق النطاق للخدمة LMSS في بيئات مختلفة. وبالنسبة للخدمة LMSS عريضة النطاق ذات قناة انتشار متعددة المسيرات حيث تتأثر الترددات المختلفة الواقعة ضمن عرض نطاق الإشارة بشكل مختلف باختلاف القناة (قنوات انتقائية التردد)، فإن نموذجاً مثيراً يقوم على تنفيذ مرشاح خطي مستعرض يكون خرجة بمثابة مجموع الأشكال المتأخرة والمتخالفة الطور لإشارة الدخل (نموذج عريض النطاق) يكون أكثر ملاءمة. وترد التعاريف الخاصة بالمصطلحات المتعلقة بالانتشار في مسيرات متعددة في التوصية ITU-R P.1407.

والنموذج مقدم بالنسبة للحالة التي يقوم عليها سائل بالإرسال من موقع معروف إلى مستقبل على الأرض، حيث يمكن حساب زاوية الارتفاع ϵ والسمت ϕ بالنسبة إلى اتجاه وموضع المستقبل. ويمكن تطبيق النموذج للترددات من 1 و 2 GHz وهو صالح للأنظمة عريضة النطاق ذات عرض النطاق الذي يصل إلى 100 MHz. ويقوم النموذج على معلمات محددة وعشوائية وبمقدوره توليد متجهات تتضمن متتاليات زمنية معقدة الغلاف للإشارة المباشرة والانعكاسات، مع متجهات تأخير المسير المقابلة. والمعلمات التي تحدد السلوك العشوائي للنموذج تشتق من قياسات يتحصل عليها في سيناريو معين. وتستند هندسة النموذج على تمثيل تركيبي للبيئة.

ويتألف نموذج القناة من توليفة من الأجزاء التالية (وضعت لدعم محاكاة سلوك الانتشار الواقعي لكثير من سيناريوهات الانتشار مثار الاهتمام، وقد تم تأكيد صلاحيتها من خلال تحليل تجريبي قائم على بيانات مقاسة):

- حجب الإشارة مباشرة:
- وحدة واجهة المنزل
- وحدة الأشجار
- وحدة أعمدة الإنارة
- وحدة الانعكاسات.

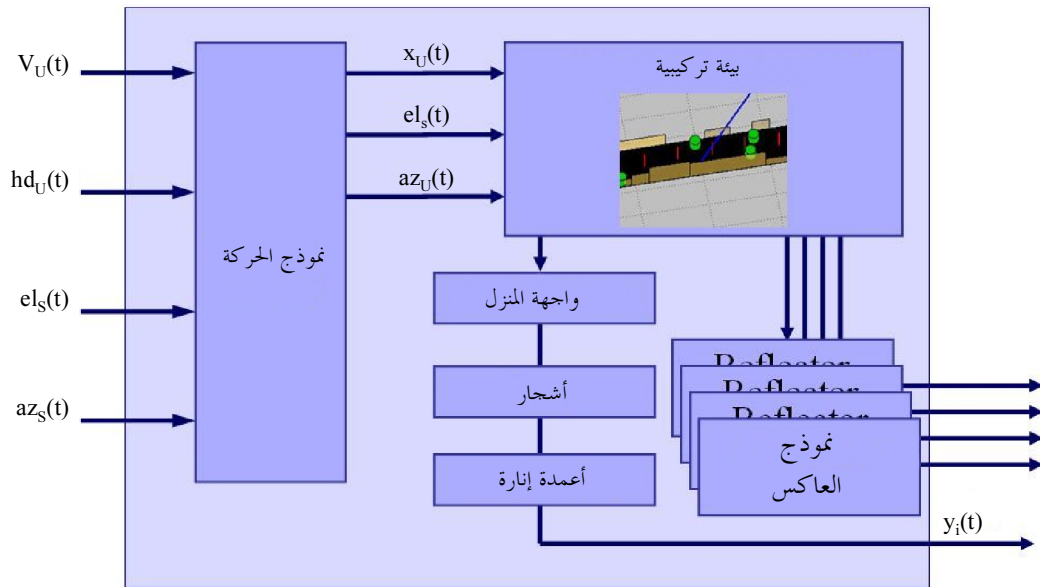
ويوضح الشكل 13 هيكل النموذج، بما في ذلك الإشارات الداخلة والوسيلة والخارجة المتغيرة مع الزمن:

$$\begin{aligned}
 &v_u(t) : \text{سرعة المستعمل} \\
 &hd_u(t) : \text{وجهة المستعمل} \\
 &el_s(t) : \text{زاوية ارتفاع السائل} \\
 &az_s(t) : \text{زاوية سمت السائل} \\
 &x_u(t) : \text{موضع المستعمل على المحور السيني (المحوران ص و ع ثابتان فرضاً)} \\
 &az_u(t) : \text{زاوية سمت المستعمل} \\
 &y_i(t) : \text{إشارات الخرج، حيث تختص كل } i \text{ بإشارة ثابتة وانعكاسات.}
 \end{aligned}$$

ويوضح الشكل 14 آليات الانتشار المتبعة في النموذج والبيئة التركيبيية.

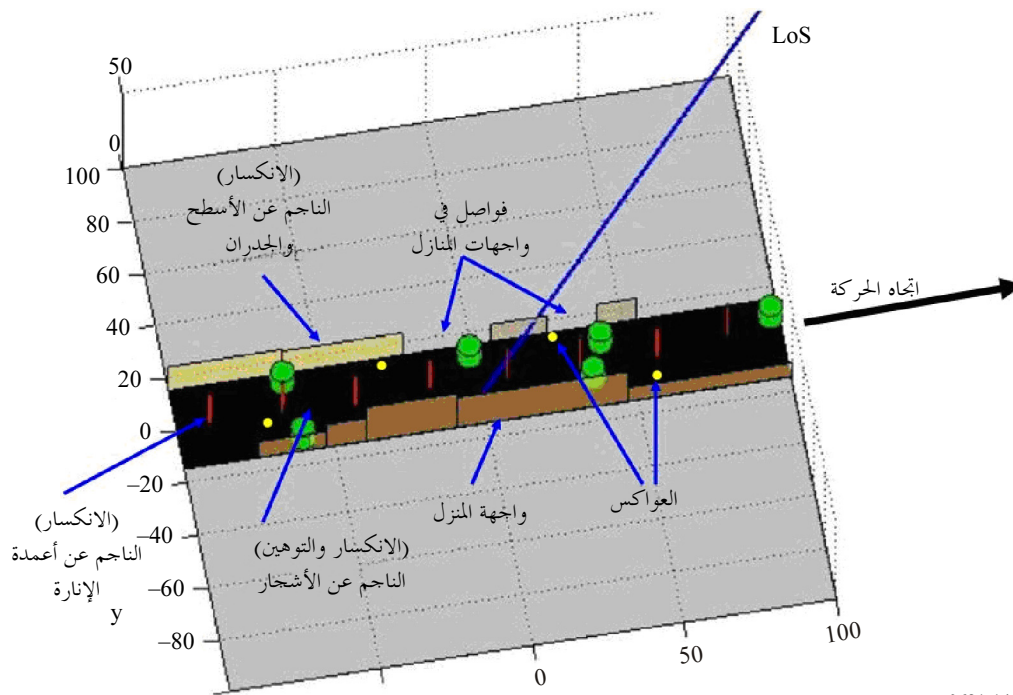
ويصلح هيكل النموذج للعديد من السيناريوهات: مركبة في منطقة حضرية، مشاة في منطقة حضرية، مركبة في منطقة شبه حضرية، مشاة في منطقة شبه حضرية. وقد وضع النموذج من قياسات أجريت على سيناريوهات حضرية وشبه حضرية في مدينة ميونخ بألمانيا وحوها. وثمة برمجية لتنفيذ النموذج متاحة على موقع الويب للجنة الدراسات 3 للاتصالات الراديوية. هناك وصف كامل لتنفيذ النموذج واستعماله في التقرير النموذجي الفيزيائي الإحصائي ذي الصلة للخدمة LMSS لقطاع الاتصالات الراديوية على موقع الويب الخاص بلجان دراسات قطاع الاتصالات الراديوية.

الشكل 13
هيكل النموذج



0681-13

الشكل 14
آليات الانتشار والبيئة التركيبية



0681-14

1.7 مدخلات النموذج

لكل عينة مدخلة، يجب تقديم بعض القيم لمدخلات النموذج:

- زاوية ارتفاع الساتل
- زاوية سمت الساتل
- سرعة المستعمل
- اتجاه المستعمل.

ويلاحظ أن أقصى سرعة للمستعمل محدودة بتردد اعتيان الاستجابة النبضية للقناة:

$$(21) \quad v < \frac{c_0 f_{smp}}{2f_c}$$

حيث:

f_{smp} : تردد الاعتيان

f_c : تردد الموجة الحاملة

c_0 : سرعة الضوء.

ويوصى بمراعاة عامل معقول للاعتيان المفرط وليكن 4.

2.7 خرج النموذج

خرج النموذج عبارة عن متجه N لقيم تأخير للمسير τ_i وقيم مركبة للمتجه N عبارة عن $A_i(t)$ لكل لحظة زمنية. ويتحصل على الاستجابة النبضية المكافئة لقناة النطاق الأساسي من المعادلة:

$$(22) \quad h(t, \tau) = \sum_{i=1}^N A_i(t) \delta(\tau - \tau_i(t))$$

حيث t و τ تشيران إلى محوري الزمن والتأخير على التوالي. ويلاحظ أن التأخير في المسير $\tau_i(t)$ عبارة عن متغير مع الزمن ويمكن أن تصل قيمه إلى قيم اعتباطية.

3.7 استعمال خرج النموذج

بفرض أن $s(t)$ هي إشارة النطاق الأساسي المكافئة المرسل، وبالتالي يمكن حساب الإشارة المستقبلية $r(t)$ بالأسلوب الاعتيادي، عن طريق الإشارة المرسل مع الاستجابة النبضية للقناة كالتالي:

$$(23) \quad r(t) = s(t) * h(t, \tau)$$

ويجري تحديث الاستجابات النبضية للقناة باعتبارها خرج للنموذج بمعدل يعطيه التردد f_{smp} .

8 تنوع السواتل

في الأجزاء السابقة، جرى تناول وصلات لساتل وحيد. ولتحسين التيسر، يمكن لأنظمة ساتلية متعددة استخدام وصلات متنوعة. ويجري هنا تناول تجميع/تبديل الإشارات من السواتل المختلفة. وهناك حالتان يجري تناولهما، ألا وهما، الحالة غير المترابطة، حيث يفترض أن تأثيرات الحبو التي تطول الإشارات المستقبلية من السواتل المرئية غير مترابطة والحالة المترابطة، والتي توجد فيها درجة معينة من الترابط. وفي الحالتين، يفترض أن تغيرات الإشارات الصادرة على المسيرات المتعددة غير مترابطة.

1.8 الحالة غير المترابطة

لدى النموذج الوارد في الفقرة 6 القدرة على تقييم تأثيرات تنوع السواتل في حالة وجود كوكبات ساتلية متعددة الرؤية (أي التبدل إلى أقل المسيرات تشوهاً). وبالنسبة للأنظمة المستقرة بالنسبة إلى الأرض، فإن احتمالات حدوث كل حالة لكل وصلة ساتلية، أي P_{An} و P_{Bn} و P_{Cn} ($n = 1, 2, \dots, N$ ؛ N هو عدد السواتل المرئية) تعتمد على زاوية ارتفاع كل ساتل θ_n وبناء عليه، فإن احتمالات حدوث الحالة بعد تنوع اختبار الحالة، $P_{A:div}$ و $P_{B:div}$ و $P_{C:div}$ تعطى بالمعادلات:

$$(24a) \quad P_{A:div} = 1 - \prod_{n=1}^N [1 - P_{An}(\theta_n)]$$

$$(24b) \quad P_{B:div} = 1 - P_{A:div} - P_{C:div}$$

$$(24c) \quad P_{C:div} = \prod_{n=1}^N [P_{Cn}(\theta_n)]$$

وفي حالة المدارات غير المستقرة بالنسبة إلى الأرض مثل المدار الأرضي المنخفض (LEO) والمدار الأرضي المتوسط (MEO)، فإن احتمالات حدوث الحالات المختلفة لكل وصلة ساتلية تتغير مع الزمن حسب زاوية ارتفاع الساتل المتغيرة مع الزمن. والاحتمالات المتوسطة لحدوث الحالات، أي $\langle P_{A:div} \rangle$ و $\langle P_{B:div} \rangle$ و $\langle P_{C:div} \rangle$ ، بعد تشغيل تنوع السواتل بدءاً من الزمن t_1 حتى الزمن t_2 تكون كالتالي:

$$(25) \quad \langle P_{i:div} \rangle = \frac{1}{t_2 - t_1} \int_{t_1}^{t_2} P_{i:div}(t) dt \quad (i = A, B \text{ or } C)$$

وبإحلال $P_{A:div}$ و $P_{B:div}$ و $P_{C:div}$ (الخاصة بحالة المدار المستقر بالنسبة إلى الأرض) أو $\langle P_{A:div} \rangle$ و $\langle P_{B:div} \rangle$ و $\langle P_{C:div} \rangle$ (الخاصة بحالة المدار غير المستقر بالنسبة إلى الأرض) محل P_A و P_B و P_C في المعادلة (11)، فإن دالة التوزيع التراكمي بعد تنوع السواتل لاختيار الحالة يمكن حسابها بطريقة مماثلة. وفي هذه الحالة، ينبغي الإبقاء على قيم العلامات الأخرى ثابتة عند الزاوية $\theta = 30^\circ$ للاستعمال المؤقت.

2.8 حالة الارتباط

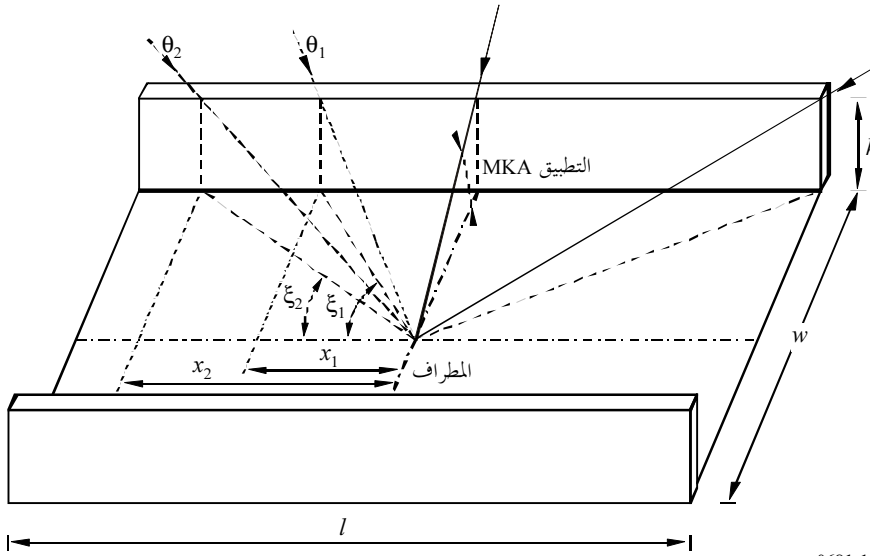
في كثير من الحالات، تمثل بعض أحداث الخبو التي تؤثر على وصلتين بتباعد زاوي معين قدر ما من الارتباط يتحتم تقديره كمياً للحصول على تقديرات أدق للتيسر الإجمالي المتوقع في نظام متعدد السواتل. ويستعمل معامل الارتباط المتبادل للخبو لهذا الغرض. ويمكن لهذه المعلمة أن تأخذ قيمة تتراوح بين ± 1 بدءاً من القيمة الموجبة القريبة جداً من $+1$ لتباعد زاوي صغير لتصل إلى قيمة سالبة للتباعد الزاوي الأكبر.

1.2.8 التقدير الكمي لمعامل الارتباط المتبادل للخبو في مناطق حضرية

يرد هنا وصف لنموذج ثلاثي الأجزاء للتقدير الكمي لمعامل الارتباط المتبادل بين أحداث الخبو في المناطق الحضرية. وتستعمل هنا هندسة مقبولة للمنطقة الحضرية هندسة "مجرى الشارع". والهدف هو التحديد الكمي لمعامل الارتباط المتبادل $\rho(\gamma)$ ، حيث γ التباعد الزاوي بين وصلتين منفصلتين بين الساتل والجهاز المتنقل في مجرى الشوارع، حيث يعبر عنه بدلالة الزاوية MKA الخاصة بكل وصلة.

ويبين الشكل 15 هندسة هذا النموذج حيث:
 θ_1, θ_2 : زاويتي ارتفاع الساتل
 w : متوسط عرض الشارع
 h : متوسط ارتفاع المبنى
 l : طول الشارع محل البحث.

الشكل 15
هندسة مجرى الشارع



0681-15

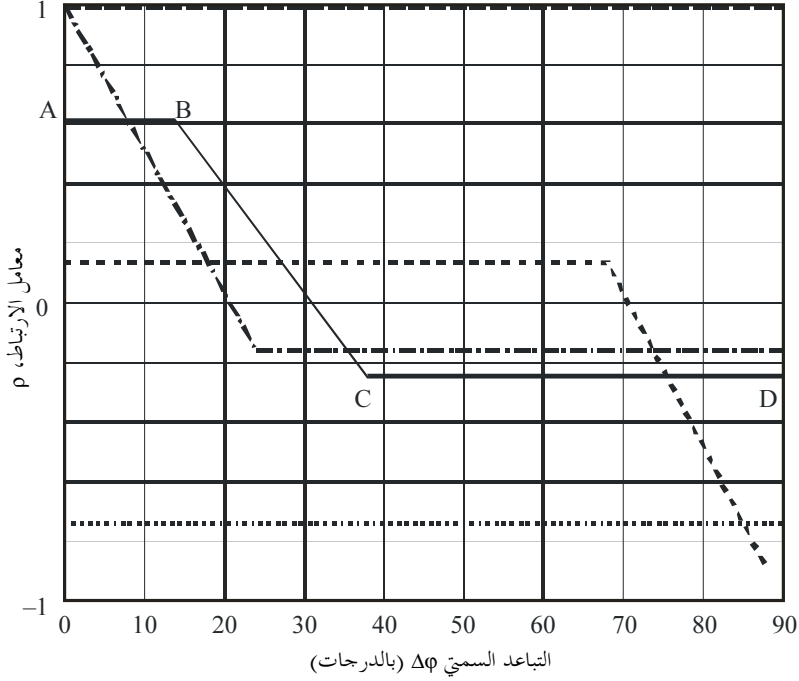
والتباعد الزاوي بين الوصلتين γ يمكن التعبير عنه بدلالة زاويتي أكثر اعتياداً: زاويتي ارتفاع الساتلية، θ_i و θ_j والتباعد السمتي $\Delta\varphi$ ، أي أن معامل الارتباط المتبادل للخبو يمكن التعبير عنه كالتالي: $\rho(\theta_i, \theta_j, \Delta\varphi)$.

والنتائج النمطية المتحصل عليها بهذا النموذج، يرد تمثيلها بيانياً في الشكل 16، حيث يبين السلوك العام مع نموذج ثلاثي الأجزاء يحدد النقاط A و B و C و D. وإضافة إلى هذا النموذج العام، هناك حالات خاصة عديدة يجري فيها دمج نقطتين أو أكثر من النقاط الأربع.

ويبين الشكل 16 أنه يوجد عادة وبوجه عام فص رئيسي لقيم موجبة متناقصة للارتباط المتبادل مع التباعد السمتي الصغير (عادة $\Delta\varphi > 30^\circ$)، في حين أن هذا المعامل يمثل الثبات عند قيمة سالبة ثابتة مع القيم الأكبر للتباعد السمتي $\Delta\varphi$. ويتيح الفص قيماً قصوى أكبر عندما يكون الساتلان على زاويتي ارتفاع متماثلين. ومع زيادة الفارق بين زاويتي الارتفاع ($\theta_j \ll \theta_i$)، فإن الفص يتيح قيماً قصوى أقل بكثير.

الشكل 16

نموذج معامل الارتباط المتبادل ثلاثي الأجزاء



0681-16

وقد تم أيضاً تعريف الحالات الخاصة لهذا النموذج ثلاثي الأجزاء: تحدث الحالة 1 عندما يكون كلا الساتلين فوق الزاوية MKA لأي تباعد سميتي. وفي هذه الحالة، يأخذ معامل الارتباط قيمة موجبة ثابتة تبلغ $1 + \Delta\phi$. وهذه ليست حالة وثيقة الصلة، لأنه في هذه الحالة، لا توجد ضرورة لتنوع السواتل. والحالة 2، تحدث عندما يكون هناك ساتل فوق MKA دائماً والآخر تحته (فيما عدا عند نهايتي مجرى الشارع). وفي هذه الحالة، يأخذ معامل الارتباط قيمة ثابتة سالبة. والحالة الخاصة 3 تحدث عندما يكون الساتلان على نفس الارتفاع. وفي هذه الحالة، يبدأ فص الارتباط نزوله من قيمة قصوى قدرها $1 +$ (أي أن الساتلين على نفس الموقع). وتنطبق هذه الحالة الخاصة على تلك الأنظمة القائمة على سواتل مستقرة بالنسبة إلى الأرض، تبعد عن بعضها بتباعدات كبيرة في السميت ولكن على ارتفاعات متماثلة إلى حد كبير. وفي الختام، تحدث الحالة الخاصة 4 للسواتل ذات الارتفاعات البالغة الاختلاف ($\theta_2 \ll \theta_1$). وهنا يمتد فص الارتباط عبر مدى أوسع بكثير من التباعدات السميتية وإن كان يعطي قيم ارتباط موجبة صغيرة.

وتجدر الإشارة إلى أنه نتيجة لهندسة السيناريو (مجري الشارع) وبافتراض أن المستعمل يتمركز في وسط الشارع، فإن قيم الارتباط تكون متجانسة للأرباع الأربعة للتباعد $\Delta\phi$ ؛ وهذا هو السبب في ظهور ربع واحد فقط في الشكل 16.

وبالنسبة إلى الشكل 15، تستعمل بيانات المدخلات التالية في النموذج: زاويتا ارتفاع الساتلين θ_1 و θ_2 (بالدرجات)، متوسط ارتفاع المبنى، h (m)، متوسط عرض الشارع w (m)، طول الشارع موضع البحث، l (m). وينصح تبني قيمة كبيرة للمعلمة الأخيرة، أي $200 \leq l$ m. كما يفترض أن تكون $\theta_1 \leq \theta_2$. وتفترض استبانة التباعد الزاوي للنموذج 1° وتسري لجميع نطاقات التردد على الرغم من أنها تكون أدق في النطاقات فوق 10 GHz.

ويتعين اتباع الخطوات التالية لحساب قيم معامل الارتباط المتبادل وقيم التباعد السميّ المقابلة لنقاط النموذج A و B و C و D:
الخطوة 1: حساب قيم المساعدة x_1, x_2, M_1 و M_2 والزوايتين ξ_1 و ξ_2 (انظر الشكل 15):

$$(26) \quad x_1 = \sqrt{\left(\frac{h}{\tan \theta_1}\right)^2 - \left(\frac{w}{2}\right)^2} \quad \text{and} \quad x_2 = \sqrt{\left(\frac{h}{\tan \theta_1}\right)^2 - \left(\frac{w}{2}\right)^2}$$

- إذا كانت $x_{1,2} < 0$ ، انتقل إلى الخطوة 6. وتحدث هذه الحالة عندما يكون الساتل 1 و/أو الساتل 2 في ظروف خط البصر دائماً لأي تباعد سميّ.
- إذا كانت $x_{1,2} < l/2$ ، تجعل $x_{1,2} = l/2$. وتحدث هذه الحالة عندما تكون هناك رؤية للساتل 1 و/أو الساتل 2 عند طرفي الشارع فقط.

$$(27) \quad \xi_1 = \text{round}\left(\arctan \frac{w/2}{x_1}\right) \quad \text{and} \quad \xi_2 = \text{round}\left(\arctan \frac{w/2}{x_2}\right)$$

$$(28) \quad M_1 = \frac{\xi_1 + 0.5}{90} \quad \text{and} \quad M_2 = \frac{\xi_2 + 0.5}{90}$$

حيث تعني "round" التقريب إلى أقرب قيمة صحيحة (بالدرجات).

الخطوة 2: حساب معلومات مساعدة تتعلق بالنقطتين A و D للنموذج.

النقطة A:

$$(29) \quad N_{11} = 4\xi_1 + 2 \quad N_{00} = 360 - 4\xi_2 - 2 \quad N_{01} = 4(\xi_2 - \xi_1) \quad N_{10} = 0$$

النقطة D:

$$(30a) \quad N_{11} = 0 \quad N_{00} = 360 - 4\xi_1 - 4\xi_2 - 4 \quad N_{01} = 4\xi_2 + 2 \quad N_{10} = 4\xi_1 + 2$$

- إذا كانت $\xi_2 + \xi_1 \geq 90$ ،

$$(30b) \quad N_{11} = 4\xi_1 + 4\xi_2 + 4 - 360 \quad N_{00} = 0 \quad N_{01} = 360 - 4\xi_1 - 2 \quad N_{10} = 360 - 4\xi_2 - 2$$

- إذا كانت $\xi_2 + \xi_1 < 90$ ،

الخطوة 3: حساب معامل الارتباط المتبادل عند النقطتين A و D:

$$(31) \quad \rho_{A,D} = \frac{1}{359} \frac{N_{11}(1-M_1)(1-M_2) + N_{00}(0-M_1)(0-M_2) + N_{10}(1-M_1)(0-M_2) + N_{01}(0-M_1)(1-M_2)}{\sigma(\theta_1)\sigma(\theta_2)}$$

$$(32a) \quad \sigma^2(\theta_1) = \frac{(4\xi_1 + 2)(1-M_1)^2 + (360 - 4\xi_1 - 2)(0-M_1)^2}{359}$$

$$(32b) \quad \sigma^2(\theta_2) = \frac{(4\xi_2 + 2)(1-M_2)^2 + (360 - 4\xi_2 - 2)(0-M_2)^2}{359}$$

الخطوة 4: عند النقطة B، يكون معامل الارتباط هو نفسه عند النقطة A ويتحصل على التباعد السمتي $\Delta\varphi$ ، من:

$$(33) \quad \text{Azimuth}_{\text{Point B}} = \xi_2 - \xi_1 \quad \text{بالدرجات}$$

الخطوة 5: عند النقطة C، يكون معامل الارتباط هو نفسه عند النقطة D ويتحصل على التباعد السمتي $\Delta\varphi$ ، من:

$$(34a) \quad \text{If } \xi_1 + \xi_2 \leq 90, \quad \text{Azimuth}_{\text{Point C}} = \xi_1 - \xi_2 \quad \text{بالدرجات} \quad -$$

$$(34b) \quad \text{If } \xi_1 + \xi_2 > 90, \quad \text{Azimuth}_{\text{Point C}} = 180 - \xi_1 - \xi_2 \quad \text{بالدرجات} \quad -$$

الخطوة 6: هذه هي الحالة التي تقع فيها عادة ظروف خط البصر لزاوية ارتفاع واحدة أو كليهما. وبحسب معامل الارتباط هنا بطريقة تختلف قليلاً عن الخطوة 3:

- إذا كان كلا الساتلين مرئياً، يكون معامل الارتباط المتبادل ثابتاً ويساوي +1 لأي قيمة للتباعد $\Delta\varphi$.

- إذا كان المرئي عادة هو ساتل واحد من الاثنتين، فإن معامل الارتباط المتبادل يكون ثابتاً ويعطى بالمعادلة:

$$(35) \quad \rho = \left(\frac{N_{11}}{180} - 1 \right)$$

حيث $N_{11} = 4\xi_1 + 2$ وتحسب ξ_1 على النحو الوارد في الخطوة 1.

2.2.8 حسابات التيسر

بمجرد توافر معامل الارتباط المتبادل، يمكن حساب تحسينات التيسر الناجمة عن استعمال تنوع السواتل. وترد هنا العلاقات المستخدمة في حساب تيسر النظام بالنسبة لحالة تنوع ساتلين. ونظراً إلى الهوامش الصغيرة (أو مديات التحكم في القدرة) التي تستخدم عادة في الأنظمة الساتلية المتنقلة الأرضية، فإنه لا يراعى إلا تأثيرات الحجب فقط. وتعد هذه بمثابة افتراضية عمل واقعية نظراً إلى أن أحداث التيسر ستقابل الوصلات في ظروف خط البصر وهي الحالة التي تكون فيها التغيرات الصادرة عن المسيرات المتعددة في شكل توزيع رايس وبالتالي صغيرة إلى حد ما. وفي حالة ظروف الخبو (كثيف أو خفيف)، تكون الوصلات في حالة انقطاع، حتى وإن أدت المسيرات المتعددة إلى زيادات كبيرة في الإشارة.

وبافتراض وصلتين بتباعد زاوي مع احتمالي عدم تيسر p_1 و p_2 ومعامل ارتباط متبادل للخبو ρ ، فإن عدم احتمال التيسر الإجمالي بعد تنوع السواتل يتحصل عليه من العلاقة:

$$(36) \quad p_0 = \rho \sqrt{p_1(1-p_1)} \sqrt{p_1(1-p_2)} + p_1 p_2$$

ويكون احتمال التيسر هو $1-p_0$. والقيم الصالحة للمعامل ρ في المعادلة (36) محدودة بتلك التي تعطي قيمة غير سالبة لعدم احتمال التيسر، p_0 . ويمكن حساب الاحتمالين p_1 و p_2 ، للمناطق الحضرية باستعمال النموذج الوارد في الفقرة 2.4.

وتحتاج الحسابات الكلية لفترة زمنية معينة أو خلال الفترة الكاملة للكوكبة إلى حساب متوسطات مرجحة عبر كل المواقع (زوايا السمات وزوايا الارتفاع) للساتلين بالنسبة للجهاز المطرافي للمستعمل.

3.8 نمذجة تأثيرات تنوع السواتل باستعمال دوال التقنيع

يمكن استعمال دوال التقنيع المعرفة في الفقرة 4.4 في حساب تيسر السواتل المتعددة. والارتباط الجزئي المحتمل لتأثيرات السد بين الوصلات المختلفة مدرج بالفعل في هندسة الأقنعة ذاتها. ويوضح الشكل 17 حساب تيسر نظام يتألف من ساتلين مستقرين بالنسبة إلى الأرض. ويشير الخطان A-B و C-D إلى مساري الكنس الواجب اتباعهما لحساب التيسر المشترك. ويشير الخط A-B إلى كنس سمّي مقداراه 360° عند زاوية الارتفاع θ_1 المقابل للساتل 1 فيما يشير الخط C-D إلى كنس سمّي مقداراه 360° عند زاوية الارتفاع θ_2 للساتل 2. ولمراعاة الارتباط المتبادل للسد المحتمل، يجب تنفيذ الكنس السمّي البالغ 360° مع الحفاظ على التباعد السمّي، $\Delta\phi$ ، بين الساتلين.

ويمكن كذلك تمديد استعمال دوال التقنيع الخاصة بالشوارع لتطول العديد من السواتل المستقرة بالنسبة إلى الأرض وإلى حالة الكوكبات غير المستقرة بالنسبة إلى الأرض، وفي الحالة الأخيرة، سنتناول الدراسة الحساب المتكرر لمخاور كنس قدرها 360° لاتباع الشارع لعدد كبير بما فيه الكفاية من اللقطات الفوتوغرافية للكوكبة الساتلية. وتشير أي نقطة في هذا السياق إلى المواقع اللحظية (زوايا سمت وزوايا ارتفاع) للسواتل المختلفة فوق زاوية ارتفاع تشغيلية دنيا، θ_{min} . وبتحديد فاصل متدرج مناسب، ΔT ، وفترة رصد، T_{obs} ، يمكن حساب التيسر كمتوسط زمني للاتجاه المرجح للشارع للنتائج المتحصل عليها في كل نقطة. ومن شأن قيمة قدرها 1 دقيقة للمتغير ΔT وتساوي T_{obs} مع فترة الكوكبة أن يعطي نتائج مناسبة.

الشكل 17

حساب التيسر الإجمالي للنظام بالنسبة لكوكبة تتألف من ساتلين مستقرين
بالنسبة إلى الأرض بالنسبة إلى تقاطع على شكل حرف T

